



**DIVISION DE ESTUDIOS DE POSGRADO**

**Facultad de Ingeniería**

**"FENOMENOS OSCILATORIOS EN SISTEMAS A PRESION,  
RESONADORES Y EXCITADORES."**

**AMALIA ADRIANA CAFAGGI FELIX**

**T E S I S**

**Presentada a la División de Estudios de  
Posgrado de la**

**FACULTAD DE INGENIERIA**

**de la**

**UNIVERSIDAD NACIONAL AUTONOMA DE MEXICO,**

**como requisito para obtener**

**el grado de**

**MAESTRA EN INGENIERIA**

**( HIDRAULICA )**



Universidad Nacional  
Autónoma de México

Dirección General de Bibliotecas de la UNAM

**Biblioteca Central**



**UNAM – Dirección General de Bibliotecas**  
**Tesis Digitales**  
**Restricciones de uso**

**DERECHOS RESERVADOS ©**  
**PROHIBIDA SU REPRODUCCIÓN TOTAL O PARCIAL**

Todo el material contenido en esta tesis esta protegido por la Ley Federal del Derecho de Autor (LFDA) de los Estados Unidos Mexicanos (México).

El uso de imágenes, fragmentos de videos, y demás material que sea objeto de protección de los derechos de autor, será exclusivamente para fines educativos e informativos y deberá citar la fuente donde la obtuvo mencionando el autor o autores. Cualquier uso distinto como el lucro, reproducción, edición o modificación, será perseguido y sancionado por el respectivo titular de los Derechos de Autor.



FEDERACION DE INSTITUCIONES EDUCATIVAS  
DE LA UNIVERSIDAD NACIONAL AUTONOMA DE MEXICO

SECRETARIA DE EDUCACION PUBLICA  
DIRECCION GENERAL DE INSTITUCIONES EDUCATIVAS



DEPEI

T. UNAM

1985

CAF

EJ. 2

FENOMENOS OSCILATORIOS EN SISTEMAS A PRESION.  
RESONADORES Y EXCITADORES.

Créditos asignados a la tesis ocho (8)

APROBADA POR EL JURADO:

Presidente: M. EN I GILBERTO SOTELO AVILA

Vocal: DR. GABRIEL ECHAVEZ ALDAPE

Secretario: DR. RAFAEL GUARGA FERRO

Suplente: M EN I GUSTAVO PAZ SOLDAN C.

Suplente: M EN I MOISES BEREZOWSKY V.

*G. Sotelo*  
*G. Echavez Aldape*  
*R. Guarga Ferro*  
*Gustavo A. Paz Soldan C.*  
*M. Berezowsky V.*



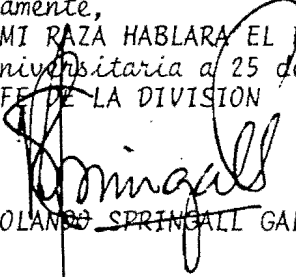
Universidad Nacional  
Autónoma de México

Prof. Rafael Gurgu Ferro,  
P r e s e n t e .

Comunico a usted que a propuesta del Coordinador de la Sección de Hidráulica, ha sido designado como director de tesis de la alumna AMALIA ADRIANA CAFAGGI FELIX para obtener el grado de M en I en HIDRAULICA.

Mucho he de agradecerle su comunicación por escrito, de la acep tación a esta designación y el nombre de la tesis a desarrollar.

Atentamente,  
"POR MI RAZA HABLARA EL ESPIRITU"  
Cd. Universitaria a 25 de junio de 1985.  
EL JEFE DE LA DIVISION

  
DR. ROLANDO SPRINGALL GALINDO

DR. ROLANDO SPRINGALL GALINDO  
Jefe de la División de Estudios de  
Posgrado de la Facultad de Ingeniería.  
P r e s e n t e .

En contestación a su oficio de fecha 25 de junio -  
del presente año, en el que me solicita proponer tema-  
de tesis para que sea desarrollado por la alumna AMALIA  
ADRIANA CAFAGGI FELIX, para obtener el grado de M. en-  
I. en HIDRAULICA, me permito someter a su consideración  
el siguiente:

"FENOMENOS OSCILATORIOS EN SISTEMAS A  
PRESION. RESONADORES Y EXCITADORES".

A t e n t a m e n t e .

Cd. Universitaria, D. F., a 16 de julio de 1985.



DR. RAFAEL GUARGA FERRO.

# INDICE

1	INTRODUCCION .....	1
2	MODELO LINEAL EN TUBERIAS .....	5
	2.1 ECUACIONES FUNDAMENTALES .....	6
	2.2 MATRICES DE TRANSFERENCIA .....	10
	2.2.1 Matriz de campo de un conducto .....	10
	2.2.2 Matriz de transferencia de las singularidades .	12
	2.2.3 Aplicación del método de las matrices de transferencia	19
3	TEORIA DE LA RESONANCIA .....	21
	3.1 RESONANCIA Y RECEPTIVIDAD EN TUBERIAS UNIFORMES .....	22
	3.1.1 Cálculo de $h(x,w)$ para los sistemas del tipo I.....	24
	3.1.2 Definición de las variables adimensionadas y de la función ganancia.....	25
	3.1.3 Funciones de ganancia.....	26
	3.1.4 Receptividad y formas modales.....	28
	3.1.5 Resonancia.....	29
	3.2 EJEMPLO NUMERICO .....	34
4	FLUJO HELICOIDAL EN TUBOS CILINDRICOS .....	37
	4.1 METODO DEL MOMENTO DE LA CANTIDAD DE MOVIMIENTO (TECNICA DEL PARAMETRO DE GIRO) Y SU APLICACION A TURBINAS	40

4.1.1	Cálculo del parámetro de giro ( $\Omega_e D L \rho Q_0^2$ ), empleando el método gráfico.....	42
4.2	EXPERIENCIAS DEL INSTITUTO DE INGENIERIA USANDO AGUA COMO FLUIDO DE TRABAJO.....	44
4.2.1	Determinación del núcleo del flujo.....	49
4.2.2	Determinación teórica del radio del núcleo.....	56
4.2.3	Comprobación del valor del parámetro de giro.....	64
5	CARACTERISTICAS OSCILATORIAS DEL FLUJO HELICOIDAL, TURBULENTO Y CONFINADO.....	68
5.1	DESCRIPCION DEL TRABAJO EXPERIMENTAL.....	69
5.2	RESULTADOS OBTENIDOS.....	74
5.3	EVALUACION DEL DECAIMIENTO DEL PARAMETRO DE GIRO A LO LARGO DEL TUBO.....	77
5.4	RELACION ENTRE EL PARAMETRO DE FRECUENCIA Y EL PARAMETRO DE GIRO A LA SALIDA DEL TUBO.....	73
6	CONCLUSIONES.....	87
	AGRADECIMIENTOS.....	91
	REFERENCIAS Y BIBLIOGRAFIA.....	92

## CAPITULO 1. INTRODUCCION

Dentro de las condiciones de operación de turbinas tipo Francis, se ha observado que cuando operan fuera de las condiciones de di se ño, existe un flujo helicoidal pulsante en el tubo de succión de la máquina. Este flujo induce fluctuaciones periódicas de pre si ón y por tanto constituye un excitador permanente del sistema de conducción de una planta hidroeléctrica.

Aunque el problema es mundial, en México surge la preocupación por el estudio del problema antes expuesto, debido a las dificul tades que se tuvieron en la planta hidroeléctrica "Belisario Do-rínguez" también conocida como "La Angostura", la cual desde que comenzó su operación presento problemas serios de oscilacio-nes de presión en la tubería de presión aguas arriba de la turbi na; estas oscilaciones llegaron al 60% de la carga de diseño. Es obvio que este problema reduce la vida útil de la planta, pues los materiales sujetos a tales condiciones de trabajo, se debi-litan por fatiga. Además, la actual tendencia en el diseño de turbinas Francis es de aumentar la potencia de cada unidad, y com o mo la eficiencia hidráulica de la máquina no aumenta con su po-tencia hidráulica, la potencia residual no controlada es propor-cional a la potencia hidráulica de la máquina, lo cual puede au-mentar la magnitud del fenómeno excitador dentro del sistema de conducción.

El estudio del problema de "La Angostura" /1/, confirmó que se tenía un fenómeno de resonancia de las pulsaciones producidas por el vórtice (flujo helicoidal) en la tubería de descarga (excitador), con la tubería de presión del sistema hidráulico (resonador).

El fenómeno de resonancia observado en la P.H "La Angostura" no se pudo reproducir en el banco de pruebas del modelo de turbinas que efectúa el fabricante, debido a que éste no cuenta con la tubería de presión aguas arriba de la turbina, y es precisamente esta tubería la que en prototipo trabaja como resonador. Para poder prevenir en la etapa de diseño de una planta hidroeléctrica los posibles fenómenos de resonancia, se requiere de la construcción de un modelo físico que simule de manera conjunta tanto al excitador (flujo helicoidal en el desfogue), como al resonador (galería de alimentación y tubo de presión).

En el capítulo 2 de este trabajo se presenta el modelo lineal a partir del cual, se desarrolla en el capítulo 3 la teoría de la resonancia, la cual permite calcular en cuáles puntos del sistema y con que frecuencias se producen las máximas oscilaciones de presión. Una vez conocidas las características del posible resonador (galería de alimentación, tubería de presión y desfogue), se tiene la necesidad de conocer el mecanismo de oscilación del vórtice (excitador). Aunque los tubos de succión son cónicos y presentan cambios de dirección, el estudio de los fenómenos básicos en tubos cilíndricos, permite un camino más simple para

comprender el comportamiento del vórtice.

En el capítulo 4 se presentan los resultados experimentales obtenidos en el Instituto de Ingeniería de la U.N.A.M., al estudiar flujo helicoidal, turbulento y confinado en tubos cilíndricos, empleando agua como fluido de trabajo. Se proponen dos modelos teóricos para calcular la distribución de velocidades axial y tangencial y se comparan con los resultados obtenidos experimentalmente. A partir de uno de los modelos propuestos se calcula la distribución de presiones en la dirección radial y se comparan los resultados con los obtenidos experimentalmente. Se muestra experimental y teóricamente la relación que existe entre el radio del núcleo del vórtice (presentado en forma adimensional), con el flujo del momento de la cantidad de movimiento del flujo entrante con respecto a un punto del eje del tubo, presentado también en forma adimensional (parámetro de giro). Se introduce el método del momento de la cantidad de movimiento (técnica del parámetro de giro), el cual permite aplicar a prototipos, en los cuales el flujo helicoidal se produce con un rotor, los resultados obtenidos al generar el vórtice con elementos estáticos.

En el capítulo 5 se presentan los resultados obtenidos en el Instituto de Ingeniería al estudiar las características oscilatorias del flujo helicoidal, turbulento y confinado en tubos cilíndricos, empleando aire y agua como fluidos de trabajo. Se encuentran

relaciones funcionales entre la frecuencia de oscilación del vórtice, presentada en forma adimensionalizada (parámetro de frecuencia), el parámetro de giro a la entrada del tubo y la longitud adimensionalizada. Se plantea un modelo teórico simple para evaluar la disminución del parámetro de giro a lo largo del tubo. Dicho modelo se calibra con los resultados experimentales obtenidos, y se emplea para determinar una nueva relación funcional entre el parámetro de frecuencia y el parámetro de giro a la salida del tubo.

Debe aclararse que los capítulos 2 y 3 son básicamente teóricos, y proporcionan las herramientas para poder prever y evitar en la etapa de diseño las frecuencias resonantes, en cambio, en los capítulos 4 y 5 se presentan los resultados experimentales que se han obtenido al estudiar el comportamiento del flujo helicoidal dentro de tubos cilíndricos, lo cual es apenas el primer paso del estudio del fenómeno físico que origina la inestabilidad o pulsación del vórtice.

## CAPITULO 2 MODELO LINEAL EN TUBERIAS

Las oscilaciones estacionarias son oscilaciones de presión y de gasto que se establecen en un sistema de conducción como consecuencia de una excitación periódica aplicada al sistema. Estas oscilaciones difieren del golpe de ariete, ya que este es un fenómeno transitorio, y las oscilaciones se denominan estacionarias debido a que su amplitud, frecuencia y fase no varían con el tiempo.

En el estudio del comportamiento de las oscilaciones estacionarias se emplean las ecuaciones de continuidad y dinámica, las cuales serán linealizadas. El modelo lineal, que será expuesto a continuación, ha sido empleado desde la década de los sesentas por Wylie/2/ y por Brown /3/, quienes desarrollan los conceptos de "impedancia hidráulica" y de "matriz de transferencia". En 1970, Chaudry /4/ aplica el concepto de matriz de transferencia para conductos a presión con flujo turbulento. La verificación de este modelo que supone la linealización de la formulación matemática, ha sido realizada con buenos resultados. Entre las verificaciones experimentales se pueden citar los trabajos de Fanelli/5/ y de Guarga /6/, /7/ y /8/. Fashbaugh y Streeter /9/ y Zielke/10/ hacen uso del modelo lineal para el estudio del comportamiento oscilatorio; en ambos casos el método responde satisfactoriamente a la comparación con los resultados experimentales.

En este capítulo se expondrá el modelo lineal, el cual se usará posteriormente en la formulación de la teoría de la resonancia.

## 2.1 ECUACIONES FUNDAMENTALES

Las ecuaciones que gobiernan el comportamiento de un flujo no permanente en un conducto a presión son: /4/:

-La ecuación dinámica y la ecuación de continuidad

$$\frac{\delta H}{\delta x} + \frac{1}{gA} \frac{\delta Q}{\delta t} + \frac{\delta Q^2}{2gDA} = 0 \quad ; \quad \frac{\delta Q}{\delta x} + \frac{gA}{c^2} \frac{\delta H}{\delta t} = 0$$

2.1 2.2

donde:

H carga piezométrica instantánea

Q gasto instantáneo

A área de la sección del conducto

g aceleración debida a la gravedad

t tiempo

$\delta$  factor de fricción de Darcy-Weisbah

c celeridad de la onda de presión

x absisa medida según el eje de la tubería en el sentido del flujo

Las ecuaciones 2.1 y 2.2 deben cumplir con las siguientes hipótesis:

- a) El flujo se considera unidimensional
- b) El fluido y el conducto se comportan elásticamente.
- c) Son válidas las fórmulas de pérdidas de energía para flujo permanente, aunque este no lo sea.
- d) Se cumple  $|V/c| \ll 1$

e)  $|\Delta p/E| \ll 1$ .  $\Delta p$  es la máxima variación de presión esperada en el sistema.  $E$  es el módulo de elasticidad de Young

f)  $|\Delta p/\kappa| \ll 1$ .  $\kappa$  es el módulo de compresibilidad del fluido.

Considerando que el gasto y la carga instantánea se pueden expresar como la suma del valor medio más su correspondiente fluctuación, se tiene :

$$Q = Q_0 + q^* \quad 2.3$$

$$H = H_0 + h^* \quad 2.4$$

donde

$$|q^*/Q_0| \ll 1 \quad 2.5$$

Sustituyendo 2.3 y 2.4 en las ecuaciones 2.1 y 2.2 y teniendo en cuenta 2.5 y que en una tubería sin ramificaciones  $\delta Q_0/\delta x = 0$  y  $\delta H_0/\delta x = -fQ_0^2/2gDA^2$ , se tiene:

$$\frac{\delta h^*}{\delta x} + \frac{1}{gA} \frac{\delta q^*}{\delta t} + R'q^* = 0 \quad 2.6$$

$$y \quad \frac{\delta q^*}{\delta x} + \frac{gA}{c^2} \frac{\delta h^*}{\delta t} = 0 \quad 2.7$$

$$\text{donde } R' = f Q_0 / gDA^2$$

Se puede observar que las ecuaciones 2.6 y 2.7 son lineales en  $h^*$  y  $q^*$ , que son respectivamente las variaciones instantáneas de la carga piezométrica y el gasto.

Al considerar oscilaciones estacionarias, interesa estudiar soluciones en las que se cumpla:

$$q^*(x,t) = q^*(x,t+T)$$

$$h^*(x,t) = h^*(x,t+T) \quad 2.8$$

siendo  $T$  un valor constante.

Si las funciones  $q^*$  y  $h^*$  cumplen 2.8 y además son definidas y uniformes excepto posiblemente en un número finito de puntos del intervalo  $0 < t < T$ , y  $q^*, h^*, \delta q^*/\delta t$  y  $\delta h^*/\delta t$  son continuas

en el mismo intervalo (condiciones de Dirichlet), pueden desarrollarse en serie de Fourier:

$$q^*(x,t) = \sum_{n=-\infty}^{n=\infty} q_n(x) e^{jn\omega_0 t}$$

$$h^*(x,t) = \sum_{n=-\infty}^{n=\infty} h_n(x) e^{jn\omega_0 t}$$

donde  $j = \sqrt{-1}$  ;  $\omega_0 = 2\pi/T$  ;  $\omega = 2\pi n/T$

$$q_n(x) = \frac{1}{T} \int_t^{t+T} q^*(x,t) e^{-jn\omega_0 t} dt$$

$$h_n(x) = \frac{1}{T} \int_t^{t+T} h^*(x,t) e^{-jn\omega_0 t} dt$$

En consecuencia, cualquier solución del tipo 2.8 buscado puede expresarse como suma de soluciones del tipo:

$$q^*(x,t) = \text{Re} \{ q(x) e^{j\omega t} \} = q^*$$

2.9

$$h^*(x,t) = \text{Re} \{ h(x) e^{j\omega t} \} = h^*$$

donde q y h son variables complejas que solo dependen de x, y Re{ } indica la parte real de { }.

Al derivar el sistema 2.9 , se tiene:

$$q_t^* = \text{Re} \{ q(x) j\omega e^{j\omega t} \} \qquad q_x^* = \text{Re} \{ q(x)_x e^{j\omega t} \}$$

$$q_{tt}^* = -\text{Re} \{ q(x) \omega^2 e^{j\omega t} \} \qquad q_{xx}^* = \text{Re} \{ q(x)_{xx} e^{j\omega t} \}$$

2.10

$$h_t^* = \text{Re} \{ h(x) j\omega e^{j\omega t} \} \qquad h_x^* = \text{Re} \{ h(x)_x e^{j\omega t} \}$$

$$h_{tt}^* = -\text{Re} \{ h(x) \omega^2 e^{j\omega t} \} \qquad h_{xx}^* = \text{Re} \{ h(x)_{xx} e^{j\omega t} \}$$

Sustituyendo 2.10 en 2.6 y 2.7 y operando se llega a:

$$q(x)_{xx} - \mu^2 q(x) = 0 \qquad 2.11$$

$$h(x)_{xx} - \mu^2 h(x) = 0 \qquad 2.12$$

donde

$$\mu^2 = -\frac{\omega^2}{c^2} + \frac{jgA\omega R'}{c^2} \qquad 2.13$$

las soluciones de las ecuaciones 2.11 y 2.12 son:

$$q(x) = C_1 \sinh \mu x + C_2 \cosh \mu x \qquad 2.14$$

$$h(x) = -Z_c [ C_2 \sinh \mu x + C_1 \cosh \mu x ] \qquad 2.15$$

Aquí se introduce el concepto de "impedancia característica"

$$Z_c = \frac{\mu c^2}{j\omega g A} \quad 2.16$$

Se denomina "impedancia hidráulica" en la sección "i" cualquiera de la tubería, al cociente

$$Z_i = \frac{h_i}{q_i} \quad 2.17$$

Las constantes  $C_1$  y  $C_2$  se determinan a partir de las condiciones iniciales. Para mayor detalle de la deducción de las ecuaciones 2.14 y 2.15 se puede consultar /8/. Estas ecuaciones deben sustituirse en 2.9 para obtener las expresiones de  $q^*$  y  $h^*$  bajo la forma de ondas estacionarias, esto es, oscilaciones cuyas amplitudes y fases no dependen del tiempo.

## 2.2 MATRICES DE TRANSFERENCIA

### 2.2.1 Matriz de campo de un conducto.

Considérese una tubería con las secciones 1 y 2 en sus extremos.

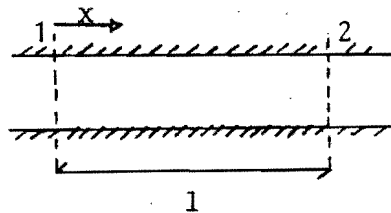


Figura 2.1 Conducto simple

en  $x=0, h=h_1$  y  $q=q_1$ , sustituyendo estas condiciones en las ecuaciones 2.14 y 2.15, se tiene:

$$C_1 = -Z_c h_1 \quad \text{y} \quad C_2 = q_1$$

en  $x=l$ ,  $h=h_2$  y  $q=q_2$ ; teniendo presentes los valores de  $C_1$  y  $C_2$  las ecuaciones 2.14 y 2.15 se pueden escribir

$$q_2 = \cosh \mu l q_1 - \frac{1}{Z_c} \sinh \mu l h_1 \quad 2.18$$

$$h_2 = -Z_c \sinh \mu l q_1 + \cosh \mu l h_1 \quad 2.19$$

Las expresiones 2.18 y 2.19 pueden escribirse con notación matricial

$$\begin{bmatrix} q \\ h \end{bmatrix}_2 = M_c \begin{bmatrix} q \\ h \end{bmatrix}_1$$

donde

$$M_c = \begin{bmatrix} \cosh \mu l & -\frac{1}{Z_c} \sinh \mu l \\ -Z_c \sinh \mu l & \cosh \mu l \end{bmatrix} \quad 2.19$$

Si la fricción se puede considerar despreciable,  $R' = 0$ ,  $Z_c = \frac{c}{gA}$  y la matriz de campo se reduce a:

$$M_c = \begin{bmatrix} \cos \omega l/c & -j \frac{1}{Z_c} \sin \omega l/c \\ -j Z_c \sin \omega l/c & \cos \omega l/c \end{bmatrix} \quad 2.20$$

La matriz  $M_c$  se denominará matriz de transferencia del conducto que va de la sección 1 a la sección 2. Para diferenciar las matrices de transferencia de las singularidades con parámetros concentrados, de las matrices de transferencia con parámetros distribuidos, estas se denominarán "matrices de campo" y las matri

ces de las singularidades se llamarán "matrices de punto"

### 2.2.2 Matriz de transferencia de las singularidades

El comportamiento oscilatorio de la carga y el gasto en un sistema de conductos a presión, se ve afectado por la presencia de elementos cuyo efecto puede considerarse concentrado en un punto, tal efecto puede representarse por la matriz de transferencia de dicho elemento, la cual, relaciona los valores de  $q^*$  y  $h^*$  antes y después de la singularidad o discontinuidad.

El desarrollo de las matrices de punto o de singularidades, es el que presenta Guarga en /12/.

Entre las singularidades que se pueden presentar en un sistema de conductos a presión, se pueden citar los cambios de sección, válvulas, cámaras de oscilación, máquinas, etc.

En la figura 2.2 se muestra el esquema de un elemento genérico.

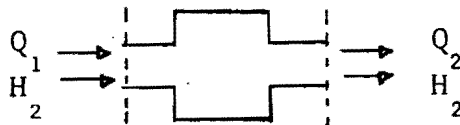


Fig. 2.2 Esquema de una singularidad

De las ecuaciones de conservación de masa y dinámica se tiene:

$$Q_2 = \varepsilon(Q_1, \dot{H}_1, \phi) \quad 2.21$$

$$H_2 = \psi(Q_1, \dot{Q}_1, H_1, \Lambda) \quad 2.22$$

donde  $\dot{H}$  y  $\dot{Q}$  son las primeras derivadas de la carga y el gasto con respecto al tiempo,  $\phi$  y  $\Lambda$  son variables que permiten perturbar  $H_2$  y  $Q_2$  sin alterar  $H_1$  y  $Q_1$  y dependen de la singularidad en cuestión. Al igual que en 2.3 y 2.4 se considerará que la perturbación instantánea se puede expresar como la suma de un valor medio más su variación.

$$\begin{aligned} \phi &= \phi_0 + \phi^* \\ \Lambda &= \Lambda_0 + \lambda^* \end{aligned} \quad 2.23$$

Desarrollando las ecuaciones 2.21 y 2.22 en serie de Taylor se tiene:

$$\begin{aligned} Q_0 + q_2^* &= \varepsilon(Q_0, \phi_0) + \varepsilon_Q q_1^* + \varepsilon_{\dot{H}} \dot{h}_1^* + \varepsilon_{\phi} \phi^* + \frac{1}{2} \left[ \varepsilon_{QQ} q_1^{*2} + \varepsilon_{\dot{H}\dot{H}} \dot{h}_1^{*2} \right. \\ &+ 2\varepsilon_{QH} \dot{q}_1^* \dot{h}_1^* + 2\varepsilon_{Q\phi} q_1^* \phi^* + 2\varepsilon_{H\phi} \dot{h}_1^* \phi^* + \varepsilon_{\phi\phi} \phi^{*2} \left. \right] + \frac{1}{6} \left[ \varepsilon_{QQQ} q_1^{*3} + \right. \\ &\dots \left. \right] + \dots \end{aligned} \quad 2.24$$

$$\begin{aligned} H + h_2^* &= \psi(Q_0, H_0, \Lambda_0) + \psi_Q q_1^* + \psi_{\dot{Q}} \dot{q}_1^* + \psi_H h_1^* + \psi_{\Lambda} \lambda^* + \\ &+ \frac{1}{2} \left[ \psi_{QQ} q_1^{*2} + \psi_{\dot{Q}\dot{Q}} \dot{q}_1^{*2} + \psi_{HH} h_1^{*2} + \psi_{\Lambda\Lambda} \lambda^{*2} + 2\psi_{QQ} q_1^* \dot{q}_1^* + \dots \right. \\ &\dots \left. \right] + \frac{1}{6} \left[ \psi_{QQQ} q_1^{*3} + \psi_{\dot{Q}\dot{Q}\dot{Q}} \dot{q}_1^{*3} + \dots \right] + \dots \end{aligned} \quad 2.25$$

donde  $\psi_Q = \partial\psi/\partial Q|_0$ ,  $\xi_{QH} = \partial^2\xi/\partial Q \partial H|_0$ , etc.

Despreciando términos de orden superior, las expresiones 2.24 y 2.25 pueden escribirse:

$$q_2^* = \xi_Q q_1^* + \xi_H \dot{h}_1^* + \xi_\phi \phi^* \quad 2.27$$

$$h_2^* = \psi_Q q_1^* + \psi_Q \dot{q}_1^* + \psi_H h_1^* + \psi_\lambda \lambda^* \quad 2.28$$

Como interesa la solución de oscilaciones de tipo periódico, se debe cumplir:

$$\begin{aligned} q^*(t) &= q^*(t + T) \\ h^*(t) &= h^*(t + T) \\ \phi^*(t) &= \phi^*(t + T) \\ \lambda^*(t) &= \lambda^*(t + T) \end{aligned} \quad 2.29$$

Si las variables del sistema 2.29 cumplen con las condiciones de Dirichlet, al igual que el sistema 2.8, sus soluciones pueden expresarse como suma de soluciones del tipo

$$\begin{aligned} q q^* &= \text{Re}\{q e^{j\omega t}\} \\ h^* &= \text{Re}\{h e^{j\omega t}\} \\ \phi^* &= \text{Re}\{\phi e^{j\omega t}\} \\ \lambda^* &= \text{Re}\{\lambda e^{j\omega t}\} \end{aligned} \quad 2.30$$

donde  $q, h, \phi,$  y  $\lambda$  son variables complejas.

Del sistema 2.30 substituyendo en 2.27 y 2.28 se tiene:

$$\operatorname{Re} \{ [q_2 - \epsilon_Q q_1 - \epsilon_H j\omega h_1 - \epsilon_\phi \phi] e^{j\omega t} \} = 0 \quad 2.31$$

$$\operatorname{Re} \{ [h_2 - \psi_Q q_1 - \psi_Q j\omega q_1 - \psi_H h_1 - \psi_\Lambda \lambda] e^{j\omega t} \} = 0$$

despejando:

$$q_2 = \epsilon_Q q_1 + j\omega \epsilon_H h_1 + \epsilon_\phi \phi \quad 2.32$$

$$h_2 = (\psi_Q + j\omega \psi_Q) q_1 + \psi_H h_1 + \psi_\Lambda \lambda \quad 2.33$$

estas ecuaciones pueden escribirse en notación matricial de la siguiente forma:

$$\begin{bmatrix} q \\ h \\ 1 \end{bmatrix}_2 = \underbrace{\begin{bmatrix} \epsilon_Q & j\omega \epsilon_H & \epsilon_\phi \phi \\ \psi_Q + j\omega \psi_Q & \psi_H & \psi_\Lambda \lambda \\ 0 & 0 & 1 \end{bmatrix}}_{M_S} \begin{bmatrix} q \\ h \\ 1 \end{bmatrix}_1 \quad 2.34$$

La matriz  $M_S$  es la genérica de las singularidades mencionadas, y los valores de sus elementos dependerán de la singularidad en particular.

Como ejemplos, a continuación se determinarán las matrices de algunas singularidades

#### -CAMBIO DE SECCION

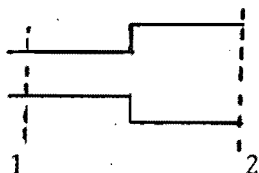


Figura 2.3 Cambio de sección

De las ecuaciones de conservación de masa y dinámica se tiene:

$$Q_2 = Q_1$$

$$H_2 = H_1 - KQ_1^2$$

donde  $H = H + Q^2/2gA^2$  ;  $K =$  coeficiente de pérdida de energía:

De 2.3 y 2.4, y haciendo  $\alpha = \frac{1}{2g} (1/A_1^2 - 1/A_2^2)$ , se tiene:

Conservación de masa

$$Q_{02} + q_2^* = Q_{01} + q_1^*$$

$$\text{como } Q_{01} = Q_{02} = Q_0$$

$$q_2^* = q_1^*$$

2.35

Ecuación dinámica

$$H_{01} + h_2^* = H_{01} + h_1^* + (\alpha - K) (Q_0^2 + 2Q_0 q_1^* + q_1^{*2})$$

como  $q_1^* = 0$  ; y eliminando las condiciones estacionarias de ambos lados

$$h_2^* = h_1^* + (\alpha - K) 2Q_0 q_1^*$$

2.36

Igualando 2.35 y 2.36 con las ecuaciones 2.27 y 2.28 respectivamente, se tiene  $\epsilon_Q = 1$ ,  $\epsilon_H = 0$ ,  $\epsilon_\phi = 0$ ,  $\psi_Q = 2(\alpha - K)Q_0$ ,  $\psi_Q = 0$ ,  $\psi_H = 1$  y  $\psi_\Lambda = 0$ ; valores que sustituidos en la matriz 2.34, proporcionan la matriz de transferencia del cambio de sección.

$$M_{CS} = \begin{bmatrix} 1 & 0 & 0 \\ 2(\alpha - K)Q & 1 & 0 \\ 0 & 0 & 0 \end{bmatrix} \quad 2.37$$

En el caso de un orificio entre las secciones 1 y 2, en las cuales  $A_1 = A_2$ ,  $\alpha = 0$  y se puede usar la matriz 2.37 haciendo

$$\psi_Q = -2KQ_0$$

-PISTON OSCILANTE

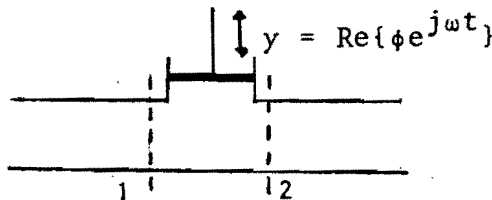


Figura 2.4 Pistón oscilante

El oscilador de pistón, de área  $A'$ , se presenta en la figura 2.4. La diferencia de gastos entre las secciones 1 y 2 está determinada por el movimiento del pistón que se considerará armónico de la forma  $y = \text{Re}\{\phi e^{j\omega t}\}$ . Si se desprecian las pérdidas de energía debidas a la bifurcación, las ecuaciones de conservación de masa y dinámica se pueden expresar:

$$Q_2 = Q_1 - \phi A'$$

$$H_2 = H_1$$

donde  $\phi = \dot{y} = -\phi\omega \text{sen } \omega t$

2.38

Al descomponer las ecuaciones de conservación de masa y dinámica en la suma de las componentes estacionarias más las oscilatorias, se tiene:

$$Q_{02} + q_2^* = Q_{01} + q_1^* - (\phi_0 + \phi^*) A'$$

$$Q_{02} + q_2^* = Q_{01} + q_1^* - \phi_0 A' - \phi^* A'$$

$$q_2^* = q_1^* - \phi^* A'$$

2.39

y

$$H_{02} + h_2^* = H_{01} + h_1^*$$

$$h_2^* = h_1^* \quad 2.40$$

Igualando las ecuaciones 2.39 y 2.40 que relacionan la carga y el gasto oscilante, con las ecuaciones 2.27 y 2.28 respectivamente, se tiene  $\xi_Q=1$ ,  $\xi_H=0$ ,  $\xi_\phi=A'$ ,  $\psi_Q=0$ ,  $\psi_Q=0$ ,  $\psi_H=1$  y  $\psi_\Lambda=0$ . La matriz de transferencia del pistón oscilante, bajo las consideraciones indicadas es:

$$M_{PO} = \begin{bmatrix} 1 & 0 & -A'\phi \\ 0 & 1 & 0 \\ 0 & 0 & 1 \end{bmatrix} \quad 2.41$$

#### -VALVULA OSCILANTE

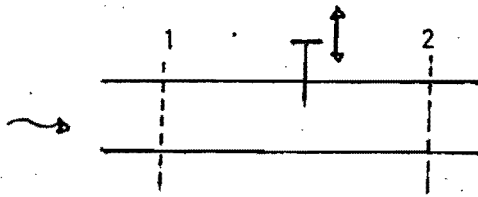


Figura 2.5 Válvula oscilante

Las ecuaciones que describen el comportamiento de la válvula oscilante son:

$$Q_2 = Q_1$$

$$H_2 = H_1 - KQ_1^2 - K\Lambda Q_1^2$$

donde  $\Lambda = \text{Re}\{\lambda e^{j\omega t}\}$  (variable de perturbación) y  $K =$  factor de pérdida de energía.

Descomponiendo las ecuaciones en su parte estacionaria más su parte oscilatoria y considerando  $q^{*2} \doteq 0$  y  $q^*\lambda^* \doteq 0$ , se tiene:

$$\begin{aligned} Q_{02} + q_2^* &= Q_{01} + q_1^* \\ q_2^* &= q_1^* \end{aligned} \quad 2.42$$

y

$$\begin{aligned} H_{02} + h_2^* &= H_{01} + h_1^* - K(Q_0 + q_1^*)^2 - K(\Lambda_0 + \lambda^*)(Q_0 + q_1^*)^2 \\ h_2^* &= h_1^* - 2KQ_0 q_1^* - KQ_0^2 \lambda^* \end{aligned} \quad 2.43$$

De 2.42 y 2.43 se tiene:  $\xi_Q = 1$ ,  $\xi_H = 0$ ,  $\xi_\phi = 0$ ,  $\psi_Q = -2KQ_0$ ,  $\psi_H = 1$  y  $\psi_\Lambda = -KQ_0^2$ ; por lo que la matriz de transferencia de la válvula oscilante es:

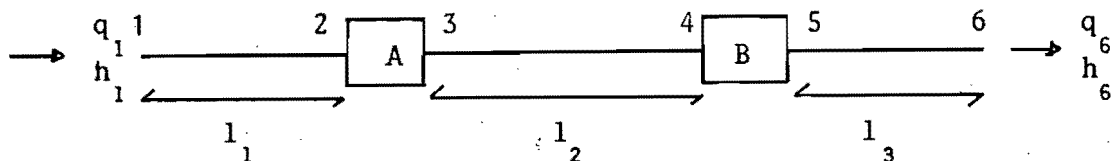
$$M_{VO} = \begin{bmatrix} 1 & 0 & 0 \\ -2KQ_0 & 1 & -KQ_0^2 \lambda \\ 0 & 0 & 1 \end{bmatrix} \quad 2.44$$

Para obtener las matrices de transferencia de otras singularidades, basta con seguir el procedimiento mostrado en los ejemplos.

### 2.2.3 Aplicación del método de las matrices de transferencia.

Un sistema hidráulico a presión está compuesto por el arreglo de conductos simples más las singularidades propias del sistema, por lo que es posible relacionar sus diferentes secciones usando las matrices de transferencia que corresponden al tramo en estudio. /4/,/8/.

A manera de ejemplo , se verá como relacionar dos extremos de un conducto en serie.



Las matrices de transferencia se denominarán  $M_C$  cuando correspondan a una tubería y  $M_S$  cuando correspondan a una singularidad. Llamando  $z_i$  al vector columna cuyos elementos son el gasto pulsante, la carga pulsante y la unidad, en el punto "i", se tiene:

$$z_i = \begin{bmatrix} q \\ h \\ 1 \end{bmatrix}_i \quad 2.45$$

y el sistema de ecuaciones matriciales es:

$$\begin{aligned} z_2 &= M_{C_1} z_1 \\ z_3 &= M_{SA} z_2 \\ z_4 &= M_{C_2} z_3 \\ z_5 &= M_{SB} z_4 \\ z_6 &= M_{C_3} z_5 \end{aligned} \quad 2.46$$

haciendo  $M_T = M_{C_3} M_{SB} M_{C_2} M_{SA} M_{C_1}$  , se tiene:

$$\begin{bmatrix} q \\ h \\ 1 \end{bmatrix}_6 = M_T \begin{bmatrix} q \\ h \\ 1 \end{bmatrix}_1$$

### CAPITULO 3 . TEORIA DE LA RESONANCIA

Al proyectista de un sistema hidráulico le interesa conocer en que puntos del sistema y para cuales frecuencias, se producen las máximas amplitudes de la oscilación de presión.

Hasta 1982, las dos teorías de resonancia conocidas eran las propuestas por Wylie /2/ y por Zielke/13/.

Wylie limita su teoría a sistemas con tanque de carga constante en el extremo aguas arriba y con la excitación producida en el extremo aguas abajo; en este tratamiento ubica de antemano el punto más peligroso junto al excitador y asocia las frecuencias que producen la máxima oscilación a aquellas asociadas al máximo del módulo de la impedancia terminal.

Zielke no indica limitaciones en cuanto a los sistemas considerados; propone que las oscilaciones libres son causadas por una excitación inicial y tienen duración limitada en el tiempo. Obtiene las ecuaciones libres de oscilación, de las de transferencia de Chaudry, sustituyendo  $j\omega$  por  $\sigma + j\omega$  para considerar el efecto del amortiguamiento y determina las frecuencias resonantes cuando el excitador presenta lo que se llaman "frecuencias propias

del sistema". No presenta resultados experimentales que verifiquen la teoría.

En /8/, Guarga realiza el análisis teórico de cuatro sistemas simples empleando la teoría de Zielke y la de Wylie, y observa que las frecuencias teóricas de resonancia no coinciden en algunos de los casos; después estudia experimentalmente los mismos sistemas y encuentra que ninguna de las teorías proporciona el resultado experimental correcto para los cuatro casos. En la misma referencia /8/, Guarga propone una teoría de resonancia a la que denomina "Teoría de la localización de máximos", la cual, al aplicar a los citados sistemas, verifica satisfactoriamente. En 1984 /11/, introduce el concepto de "función de ganancia", la cual es producto de una función de "receptividad" que depende de las características del sistema, y de funciones llamadas de "forma modal", que vinculan la ganancia con la posición de los puntos a lo largo de la tubería. Esta teoría es la que se expondrá en este capítulo.

### 3.1 RESONANCIA Y RECEPTIVIDAD EN TUBERIAS UNIFORMES

En /8/ se definen las "frecuencias de resonancia" como aquellas para las cuales en uno o más puntos del sistema se presentan máximos de amplitud en las oscilaciones estacionarias de la carga piezométrica. Además, para cada frecuencia de resonancia, interesa localizar la posición de los puntos en los cuales se producen los mencionados máximos.

Cuando el excitador de las oscilaciones se ubica en el subsistema aguas abajo de la tubería estudiada, se tiene un sistema que se denominará "tipo I" (fig. 3.1), y cuando se ubica aguas arriba, se tiene un sistema que se denominará del "tipo II" (fig. 3.2). Debido a que el desarrollo de la teoría se apoya en el modelo lineal, todo sistema hidráulico puede considerarse como una combinación de los sistemas I y II.

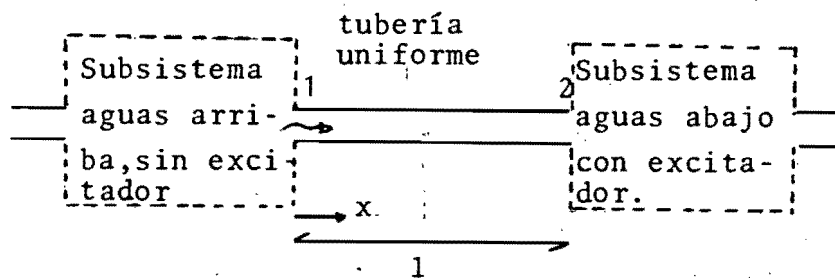


Figura 3.1 Sistema tipo I .

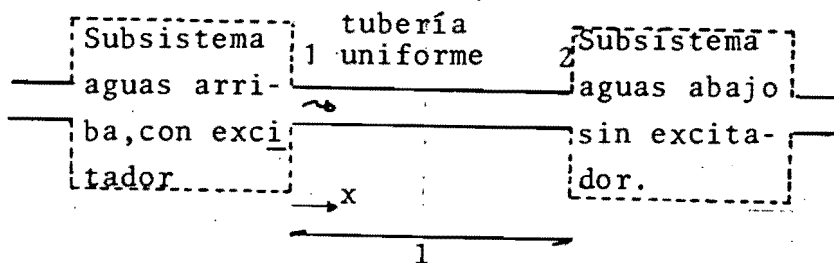


Figura 3.2 Sistema tipo II.

### 3.1.1 Cálculo de $h(x, \omega)$ para los sistemas del tipo I .

Para calcular  $h(x, \omega)$  se requieren las condiciones de frontera en 1 y en 2 , las cuales en un sistema tipo I son las siguientes:

$$h_1 = Z_1 q_1 \quad 3.1$$

$$h_2 = Z_2 q_2 + \tilde{e} \quad 3.2$$

siendo  $Z_1$  y  $Z_2$  impedancias complejas que dependen de las características de los respectivos subsistemas y de la frecuencia  $\omega$  de la oscilación.  $Z_1$  depende del subsistema aguas arriba y  $Z_2$  depende del subsistema aguas abajo;  $\tilde{e}$  es el término de la excitación.

Sustituyendo la ecuación 3.1 en las expresiones 2.18 y 2.19, se tiene:

$$q_2 = \left( \cosh \mu l - \frac{Z_1}{Z_c} \sinh \mu l \right) q_1 \quad 3.3$$

$$h_2 = Z_2 q_2 + \tilde{e} = (-Z_c \sinh \mu l + Z_1 \cosh \mu l) q_1 \quad 3.4$$

Aplicando 3.4 en 3.3 y despejando  $q_1$  se llega a:

$$q_1 = \frac{1}{Z_c} \frac{\tilde{e}}{\left( \frac{Z_1}{Z_c} - \frac{Z_2}{Z_c} \right) \cosh \mu l + \left( \frac{Z_1 Z_2}{Z_c^2} - 1 \right) \sinh \mu l} \quad 3.5$$

Aplicando 2.19 para un tramo de tubería que va desde el extremo

aguas arriba 1 y el punto de abscisa  $x$  y empleando 3.1, se tiene:

$$h(x, \omega) = Z_c \left( \frac{Z}{Z_c} \cosh \mu x - \sinh \mu x \right) q_1 \quad 3.6$$

sustituyendo 3.5 en 3.6, se tiene finalmente para  $h(x, \omega)$

$$h(x, \omega) = \left( \frac{Z}{Z_c} \cosh \mu x - \sinh \mu x \right) \cdot \frac{\tilde{e}}{\left( \frac{-1}{Z_c} - \frac{Z}{Z_c} \right) \cosh \mu l + \left( \frac{Z}{Z_c^2} - 1 \right) \sinh \mu l} \quad 3.7$$

Procediendo de igual manera para los sistemas del tipo II con condiciones de frontera

$$h_1 = Z_1 q_1 + \tilde{e} \quad 3.8$$

$$h_2 = Z_2 q_2 \quad 3.9$$

se llega a que la expresión para  $h(x, \omega)$  para los sistemas tipo II es :

$$h(x, \omega) = \left[ \sinh \mu (x-1) - \frac{Z_2}{Z_c} \cosh \mu (x-1) \right] \cdot \frac{\tilde{e}}{\left( \frac{Z_1}{Z_c} - \frac{Z}{Z_c} \right) \cosh \mu l + \left( \frac{Z_1}{Z_c^2} - 1 \right) \sinh \mu l} \quad 3.10$$

### 3.1.2. Definición de variables adimensionales y de la función ganancia.

A continuación se definen las siguientes variables adimensionales reales.

$$\Omega = \frac{\omega l}{c}, \quad X = \frac{x}{l}, \quad v = \frac{R' g A l}{c} \quad 3.11$$

$$\beta_i = \frac{|Z_i|}{c/gA}, \quad \theta_i = \arg Z_i, \quad i = 1, 2 \quad 3.12$$

Recordando las expresiones de  $\mu$ ,  $R'$  y  $Z_c$ , y aplicando las variables definidas en 3.11 se tiene:

$$\mu l = \Omega^2 (-\Omega + jv)^2 \quad 3.13$$

$$\mu x = \Omega^2 (-\Omega + jv)^2 \cdot X \quad 3.14$$

$$Z_c = \frac{\mu l}{j\Omega} \cdot \frac{c}{gA} \quad 3.15$$

Utilizando las variables definidas en 3.12, los cocientes de impedancia que aparecen en las expresiones de  $h(x, \omega)$  pueden expresarse :

$$\frac{Z_i}{Z_c} = \beta_i e^{j\theta_i} \cdot \frac{j\Omega}{\mu l} \quad 3.16$$

### 3.1.3 Funciones de ganancia.

Con base a las variables adimensionadas, se tiene que para los dos tipos de sistemas considerados:

$$\frac{h}{e} = \psi_1(X, \Omega, \beta_1, \theta_1, \beta_2, \theta_2) \quad \text{Sistemas tipo I} \quad 3.17$$

$$\frac{h}{\tilde{e}} = \Psi_2 ( X, \Omega, \beta_1, \theta_1, \beta_2, \theta_2 ) \quad \text{Sistemas tipo II} \quad 3.18$$

Como en general  $\beta_i$  y  $\theta_i$  ( $i=1,2$ ) son constantes o funciones de  $\Omega$ , las relaciones funcionales 3.17 y 3.18 pueden escribirse:

$$\frac{h}{\tilde{e}} = \Psi_1 ( X, \Omega ) \quad \text{Sistemas tipo I} \quad 3.19$$

$$\frac{h}{\tilde{e}} = \Psi_2 ( X, \Omega ) \quad \text{Sistemas tipo II} \quad 3.20$$

De las funciones complejas 3.19 y 3.20 interesan sus módulos, se definen entonces las "funciones de ganancia"  $|\Psi_1| = G_1$  y  $|\Psi_2| = G_2$ . Utilizando las expresiones 3.7 y 3.10 de  $h(x, \omega)$ , se obtiene:

$$\left| \frac{h}{\tilde{e}} \right| = G_1 ( X, \Omega )$$

$$\left| \frac{h}{\tilde{e}} \right| = \frac{|(Z_1/Z_c) \cosh(\mu l \cdot X) - \sinh(\mu l \cdot X)|}{\left| \left( \frac{-1}{Z_c} - \frac{Z}{Z_c} \right) \cosh \mu l + \left( \frac{Z Z_1}{Z_c^2} - 1 \right) \sinh \mu l \right|} \quad 3.21$$

y

$$\left| \frac{h}{\tilde{e}} \right| = G_2 ( X, \Omega )$$

$$\left| \frac{h}{\tilde{e}} \right| = \frac{|\sinh[\mu l (X-1)] - (Z_2/Z_c) \cosh[\mu l (X-1)]|}{\left| \left( \frac{-1}{Z_c} - \frac{Z}{Z_c} \right) \cosh \mu l + \left( \frac{Z Z_2}{Z_c^2} - 1 \right) \sinh \mu l \right|} \quad 3.22$$

La expresión 3.21 corresponde a los sistemas tipo I y la expresi-

sión 3.22 corresponde a los sistemas tipo II.

Las funciones  $G_i$  ( $i=1,2$ ) establecen la ganancia o amplificación en cada punto  $X$  y para cada frecuencia  $\Omega$  entre la amplitud de la excitación  $|\bar{e}|$  y la amplitud de la oscilación de la carga piezométrica  $|h|$  en ese punto  $X$  de la tubería y para la frecuencia  $\Omega$ .

El campo de definición de las funciones  $G_i$  es la región del plano

$$0 < X < 1, \quad \Omega_m < \Omega < \Omega_M \quad 3.23$$

siendo  $\Omega_m$  la frecuencia adimensional mínima y  $\Omega_M$  la máxima que interesan estudiar en el caso particular.

#### 3.1.4 Receptividad y formas modales.

De las expresiones 3.21 y 3.22, las funciones  $G_i$  pueden escribirse como el producto de dos funciones

$$G_1 = R(\Omega)F_1(X, \Omega) \quad \text{y} \quad G_2 = R(\Omega)F_2(X, \Omega) \quad 3.24$$

siendo

$$R(\Omega) = \frac{1}{\left( \frac{Z_1}{Z_c} - \frac{Z_2}{Z_c} \right) \cosh \mu l + \left( \frac{Z_1 Z_2}{Z_c^2} - 1 \right) \sinh \mu l} \quad 3.25$$

a  $R(\Omega)$  se le denominará "receptividad" de la tubería, y

$$F_1(X, \Omega) = \left| \frac{Z_1}{Z_c} \cosh(\mu l \cdot X) - \sinh(\mu l \cdot X) \right| \quad 3.26$$

$$F_2(X, \Omega) = |\sinh[\mu l(X - 1)] - (Z_2 / Z_c) \cosh[\mu l(x - 1)]| \quad 3.27$$

a las funciones  $F_i(X, \Omega)$  ( $i=1,2$ ) se les denominarán "formas modales" de la oscilación.

Nótese que si se fija una frecuencia de excitación de la tubería ( $\Omega$ ), las funciones  $F_i$  son las que establecen como varían las ganancias con la abscisa adimensional  $X$ , siendo  $|\tilde{e}|$  y  $R(\Omega)$  independientes de  $X$ . Las gráficas de las funciones  $F_i$  respecto a  $X$  son, a la escala  $|\tilde{e}|R(\Omega)$ , las curvas de la amplitud de la componente oscilatoria de la carga piezométrica  $|h|$ . Esta curva indica la forma de oscilar del modo particular determinado por  $\Omega$ . Por ello se denominarán "formas modales".

### 3.1. 5 Resonancia.

Examinando las expresiones 3.21 y 3.22 es evidente que los puntos  $X_0$  de la tubería y las frecuencias  $\Omega_0$  de la excitación que hacen máxima la ganancia  $G_i$  ( $i=1,2$ ) son de gran interés para el diseño de la tubería. En estos puntos y para estas frecuencias se producirán las máximas ganancias o amplificaciones entre la magnitud de la excitación  $|\tilde{e}|$  y la amplitud de la oscilación de la carga piezométrica  $|h|$  en la tubería. En consecuencia, se definirán los siguientes conceptos.

Frecuencias de resonancia. Son las frecuencias  $\Omega_0$  que producen máximas ganancias entre la amplitud de la excitación  $|e|$  y la amplitud de la oscilación de la carga piezométrica  $|h|$  en los "puntos peligrosos"  $X_0$ .

Puntos peligrosos. Son los puntos  $X_0$  en los que, para las "frecuencias de resonancia"  $\Omega_0$ , se producen las máximas ganancias entre la magnitud de la excitación  $|e|$  y la amplitud de  $|h|$ .

De las definiciones anteriores se tiene que, las frecuencias de resonancia y los puntos peligrosos se pueden encontrar cuando se presentan los valores máximos de la función  $G_i, (\max G_i)$ , en la región definida en 3.23 del plano  $X, \Omega$ , esto es, cuando:

$$\frac{\partial G_i}{\partial X} = 0 \quad \text{y} \quad \frac{\partial G_i}{\partial \Omega} = 0 \quad 3.28$$

### 3.1.6 Simplificaciones en el cálculo de $X_0$ y $\Omega_0$ .

El procedimiento general de solución admite considerables simplificaciones cuando la fricción distribuida es nula ( $\nu = 0$ ) y la impedancia  $Z_1$  es constante (sistemas tipo I) o  $Z_2$  es constante (sistemas tipo II).

Se analizará como ejemplo, la solución del sistema de ecuaciones 3.28 para los sistemas del tipo I. De 3.24 se tiene:

$$\frac{\partial G_1}{\partial X} = R(\Omega) F'_1 \cdot \Omega = 0 \quad 3.29$$

donde  $F'_1 = dF_1/d\eta$ , siendo  $\eta = X\Omega$ . Como se buscan máximos de  $G_1$ , no puede haber solución en la que  $R(\Omega_0) = 0$ , pues en ese caso  $G_1 = 0$ . Tampoco es posible que  $\Omega_0 = 0$  pues no habría oscilación. De manera que para la búsqueda de máximos de  $G_1$ , 3.29 es equivalente a :

$$F'_1(X, \Omega) = 0 \quad 3.30$$

Por otro lado también debe verificarse

$$\frac{\partial G_1}{\partial \Omega} = \frac{dR(\Omega)}{d\Omega} \cdot F_1 + R(\Omega) F''_1 \cdot X = 0 \quad 3.31$$

Debiendo verificarse simultáneamente 3.30 y 3.31; de 3.31 resulta:

$$\frac{dR(\Omega)}{d\Omega} = 0 \quad 3.32$$

pues  $F_1(X, \Omega_0)$  debe ser un máximo de la forma modal y por lo tanto no nulo.

Para los sistemas del tipo II, la demostración es análoga pero trabajando con  $X' = (X - 1)$  como variable de posición.

De 3.32 se puede observar que para una tubería con fricción distribuida nula y  $Z_1$  constante para los sistemas del tipo I, o  $Z_2$  constante para los sistemas del tipo II, las frecuencias de resonancia son aquellas que hacen máxima la función de receptividad  $R(\Omega)$ .

Los puntos peligrosos en la tubería se obtienen para cada una de las frecuencias de resonancia halladas a partir de 3.32, resolviendo para  $X$  la ecuación 3.30 y escogiendo entre las soluciones aquellas que correspondan a máximos de la forma modal correspondiente.

En el caso de  $v = 0$  y además  $Z_1$  y  $Z_2$  sean constantes reales, se tiene un caso particular de lo expuesto anteriormente, por lo que son válidas las expresiones encontradas.

La función  $R(\Omega)$  resultante bajo las hipótesis realizadas, es la siguiente para ambos tipos de sistemas.

$$R(\Omega) = \frac{1}{(C_1 + C_2 \operatorname{sen}^2 \Omega)} \quad 3.33$$

donde

$$C_1 = \left( \frac{Z_1}{Z_c} - \frac{Z_2}{Z_c} \right)^2 \quad 3.34$$

y

$$C_2 = \left( \frac{Z_1 Z_2}{Z_c^2} - 1 \right)^2 - \left( \frac{Z_1}{Z_c} - \frac{Z_2}{Z_c} \right)^2 = \beta_1^2 \beta_2^2 - \beta_1^2 - \beta_2^2 + 1 \quad 3.35$$

por lo que 3.32 puede expresarse:

$$\frac{dR(\Omega)}{d\Omega} = - \frac{C_2 \operatorname{sen} 2\Omega}{(C_1 + C_2 \operatorname{sen}^2 \Omega)^{3/2}} = 0 \quad 3.36$$

Los máximos de la función  $R(\Omega)$  se ubicarán, de acuerdo al sig

no de  $C_2$  en:

$$C_2 > 0, \quad \Omega_{\max} = m\pi; \quad m = 1, 2, 3, \dots \quad 3.37$$

$$C_2 < 0, \quad \Omega_{\max} = (2m-1)\frac{\pi}{2}; \quad m = 1, 2, 3, \dots \quad 3.38$$

De 3.37 y 3.38 se concluye que el signo de  $C_2$  es el que determina los máximos de  $R(\Omega)$ , y en consecuencia las frecuencias de resonancia de la tubería.

Como en este caso definieron  $Z_1$  y  $Z_2$  constantes y reales, se tiene  $\beta_1 = |Z_1/Z_c|$  y  $\beta_2 = |Z_2/Z_c|$ . Con la ayuda del diagrama de la figura 3.3 se obtiene el signo de  $C_2$  a partir de los valores de  $\beta_1$  y  $\beta_2$ , y con 3.37 y 3.38 se pueden determinar fácilmente las frecuencias de resonancia de la tubería.

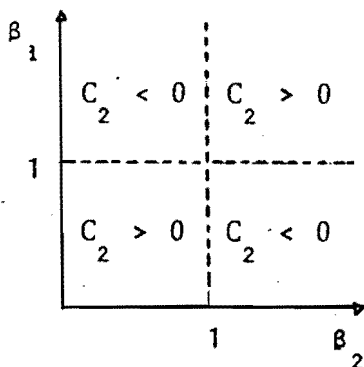


Figura 3.3. Signo de  $C_2$  en función de  $\beta_1$  y  $\beta_2$ .

### 3.2 EJEMPLO NUMERICO

En la figura 3.4 se muestra en forma esquemática una instalación experimental en la cual se genera flujo helicoidal (esta instalación es la descrita en los capítulos 4 y 5 de este trabajo).

El tanque de carga constante que se encuentra aguas arriba de la tubería fija un nodo para la componente oscilatoria de la presión, por lo que puede considerarse un subsistema sin excitación. Aguas abajo de la tubería de presión se encuentran un sistema de álabes estáticos que generan vórtices y el tubo de desfogue, estos elementos serán considerados como un subsistema con excitación. El tubo de presión está construido con acrílico y se pueden considerar despreciables los efectos de fricción (se ha calculado  $\nu=0.025$ ). Otros datos del sistema son:

$$l = 2.54 \text{ m.}$$

$$D = 0.10 \text{ m.}$$

$$c = 343 \text{ m/s.}$$

Se desea calcular cuales son las frecuencias resonantes del sistema.

Solución:

La instalación puede tratarse como un subsistema del tipo I, en el que se tiene debido a las condiciones de frontera, que la impedancia hidráulica en la sección 1 es nula ( $Z_1=0$ ) y por lo tanto  $\beta_1$  también lo es. La impedancia en la sección 2 se consi-

dera similar a la de un orificio/26/ y se calcula siguiendo el procedimiento indicado en la sección 2.2.2 , llegándose a:

$$Z_2 = \frac{2\Delta H_0}{Q_0}$$

donde  $\Delta H_0$  es la pérdida de carga que introduce el sistema de álabes. Para la condición de máximo gasto ( $Q_0 = 0.278 \text{ m}^3/\text{s}$ ), y por lo tanto de máxima pérdida en el sistema de álabes ( $\Delta H_0 = 114.8 \text{ m.c. aire}$ ), se tiene:

$$\beta_2 = \frac{Z_2}{Z_c} = \frac{2\Delta H_0 gA}{Q_0 c} = 0.226 < 1$$

del diagrama de la figura 3.3 resulta que  $C_2 > 0$  . Por lo tanto las frecuencias de resonancia, para todo gasto, son según la condición 5.38 :  $\Omega_{\text{max}} = m\pi$  . Recordando que  $\Omega = \omega l/c$  y que  $f = 2\pi\omega$  , se tiene:

$$f = \frac{mc}{2l}$$

Para  $m=1$ , la frecuencia fundamental es  $f=65.5 \text{ Hz}$ .

Para  $m=2$ , el primer armónico es  $f= 135 \text{ Hz}$ , etc.

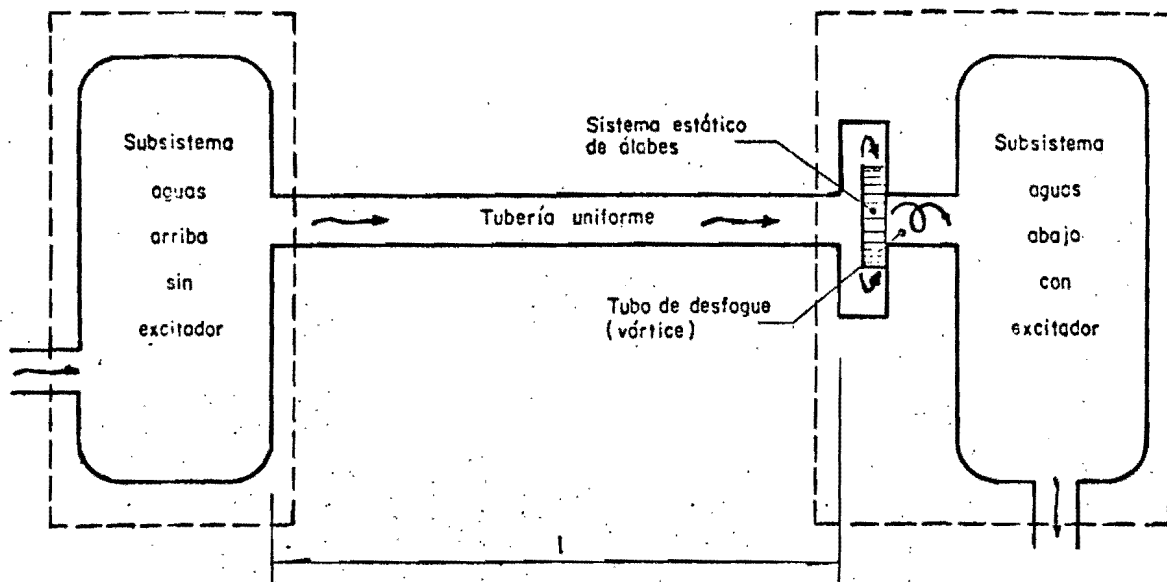


Fig. 3.4 ESquema simplificado de la instalación experimental.

## CAPITULO 4 . FLUJO HELICOIDAL EN TUBOS CILINDRICOS

Cuando una turbina opera fuera de las condiciones de diseño, en el tubo de desfogue de la misma, se presenta un flujo helicoidal comúnmente conocido como vórtice o torcha. Si el gasto de operación es menor que el de diseño, el giro del flujo es en el mismo sentido que el de rotación del rodete; si el gasto es mayor que el de diseño, el giro es en el sentido contrario; cuando se opera en condiciones de diseño solo se presenta flujo axial y no se presenta flujo helicoidal.

En el diagnóstico que hacen Guarga e Hiriart sobre los problemas de oscilaciones de presión más importantes que se presentan en la planta hidroeléctrica "La Angostura" /14/, se muestra que el origen de dichas oscilaciones es el flujo helicoidal que se presenta en el desfogue de la turbina cuando ésta opera fuera de las condiciones de diseño. El diagnóstico presentado en /14/ clasifica las oscilaciones de presión como las del tipo I, las cuales se presentan en la aducción excitadas por el flujo helicoidal del desfogue y amplificadas por resonancia. Para tener una idea de los problemas que pueden causar las oscilaciones de presión, basta decir que en la campaña de mediciones realizada por el Instituto de Ingeniería en diciembre de 1981 /15/, para una carga

bruta en el vaso de 104.3 m, se midieron oscilaciones en el tubo de presión, cuya magnitud llegó a ser hasta de 63.2 m de columna de agua, es decir, del orden del 60% de la carga bruta.

La magnitud del problema resonante hace necesario encontrar métodos de control del vórtice y evitar su comportamiento como excitador. Esto hace necesario profundizar en el fenómeno físico que origina la pulsación o inestabilidad del vórtice. La primer pregunta a contestar es si el vórtice está inexorablemente vinculado a la presencia de un rotor, o puede ser generado empleando elementos estáticos.

Desde los últimos años de la década de los años sesenta, el United States Bureau of Reclamation ( U.S.B.R. ) comenzó a trabajar sobre la tesis de que el fenómeno pulsante estaba ligado al momento de la cantidad de movimiento del fluido entrante en el tubo de desfogue. Entre los trabajos que corroboran esta tesis pueden mencionarse los de Cassidy /16/, Nishi /17/ y Guarga /18/. Los trabajos realizados por Cassidy para el U.S.B.R., tienen la virtud de haber analizado múltiples formas geométricas en condiciones de flujo muy diversas, pero tienen la enorme limitación de haber usado solamente aire como fluido de trabajo. Esto significa la imposibilidad de analizar los efectos de la cavitación sobre el fenómeno pulsante. En los trabajos de Nishi se utilizó agua como fluido de trabajo, lo cual permite introducir el parámetro de cavitación y analizar su efecto sobre las pulsaciones, tanto en frecuencia de las mismas como en su amplitud. En /18/ --

se confirma la relación funcional que existe entre la frecuencia de oscilación del vórtice con el flujo del momento de la cantidad de movimiento del flujo entrante, el número de Reynolds, la longitud del tubo y el parámetro de cavitación.

En los trabajos antes mencionados se observó que la presencia de un rotor como generador de vórtices no es necesaria, y que este se puede suplir con un sistema de álabes estáticos que reproduzca los parámetros que definen el fenómeno pulsante.

Antes de analizar las características oscilatorias del flujo helicoidal, las cuales se exponen en el capítulo 5, es conveniente conocer las características del flujo helicoidal tales como distribución de velocidades y de presiones en la dirección radial, así como la magnitud del núcleo del vórtice. En este capítulo se expone el método del momento de la cantidad de movimiento y su aplicación a turbinas. Se presentan los resultados recientemente obtenidos en el Instituto de Ingeniería /20/, sobre el comportamiento del flujo helicoidal empleando agua como fluido de trabajo. Se presentan dos modelos teóricos para calcular las distribuciones de velocidades axial y tangencial y un modelo para calcular la distribución de presiones. Los modelos se comparan con los resultados obtenidos en las experiencias realizadas con agua. Se muestra experimentalmente la relación que existe entre el parámetro de giro y el radio del núcleo del vórtice. Se propone un modelo que demuestra dicha relación y se comparan resultados.

#### 4.1 METODO DEL MOMENTO DE LA CANTIDAD DE MOVIMIENTO ( TECNICA DEL PARAMETRO DE GIRO ) Y SU APLICACION A TURBINAS.

Cassidy y H. Falvey /16/ muestran a partir de las ecuaciones de Navier Stokes, que es razonable esperar que para un conducto de sección circular, la frecuencia "f" de las pulsaciones del vórtice verifiquen

$$\frac{fD^3}{Q_0} = \bar{F} ( \Omega_e D / \rho Q_0^2 , R_e , \text{geometría} ) \quad 4.1$$

siendo  $\Omega_e$  la proyección sobre el eje orientado en el sentido del flujo medio del flujo del momento de la cantidad de movimiento del flujo entrante con respecto a un punto del eje, D el diámetro del conducto y  $Q_0$  el gasto volumétrico medio. A  $fD^3 / Q_0$  se le denomina parámetro de frecuencia y a  $\Omega_e D / \rho Q_0^2 = G_0$ , se le conoce como parámetro de giro.

En sus trabajos experimentales, Nishi /17/ muestra que al trabajar con agua, en la relación 4.1 debe incorporarse el parámetro de cavitación  $K_a = (p - p_v) / (\rho V_0^2 / 2)$ , donde p es la presión en un punto representativo y  $p_v$  es la presión del vapor, por lo que propone la relación

$$\frac{fD^3}{Q_0} = \bar{F} ( \Omega_e D / \rho Q_0^2 , R_e , K_a , \text{geometría} ) \quad 4.2$$

La relación 4.2 indica que para una geometría dada, conociendo el parámetro de giro, el número de Reynolds y el parámetro de cavitación, se puede encontrar la frecuencia "f" de la oscilación del vórtice.

La aplicación a una turbina de la relación 4.2 implica conocer cual es el momento de la cantidad de movimiento del flujo entrante en el tubo de desfogue. Para ello debe usarse la relación:

$$M = \Omega_{e_1} - \Omega_{e_2} \quad 4.3$$

siendo M el par ejercido sobre el rodete por el fluido,  $\Omega_{e_1}$  y  $\Omega_{e_2}$  el flujo del momento de la cantidad de movimiento (respecto al eje de la turbina) a la entrada y a la salida del rodete respectivamente. La ecuación anterior también puede expresarse

$$\frac{P_T}{\omega} = \Omega_{e_1} - \Omega_{e_2} \quad 4.4$$

siendo  $P_T$  la potencia en el eje de la máquina y  $\omega$  la velocidad angular de rotación del eje. Multiplicando 4.4 por  $D/\rho Q_0^2$  y des-  
pejando al término que contiene a  $\Omega_{e_2}$ , se tiene

$$\frac{\Omega_{e_2} D}{\rho Q_0} = \frac{\Omega_{e_1} D}{\rho Q_0} - \frac{P_T D}{\rho \omega Q_0^2} \quad 4.5$$

que es el valor del parámetro de giro que debe reemplazarse en la expresión 4.2.

4.1.1 Cálculo del parámetro de giro  $(\Omega_e D / \rho Q_0^2)$  empleando el método gráfico.

El parámetro de giro a la entrada del rodete se determina teniendo en cuenta (ver figura 4.1) que en promedio:

$$\Omega_e = \rho Q_0 R_1 V_0 \operatorname{sen} \alpha_f \quad 4.6$$

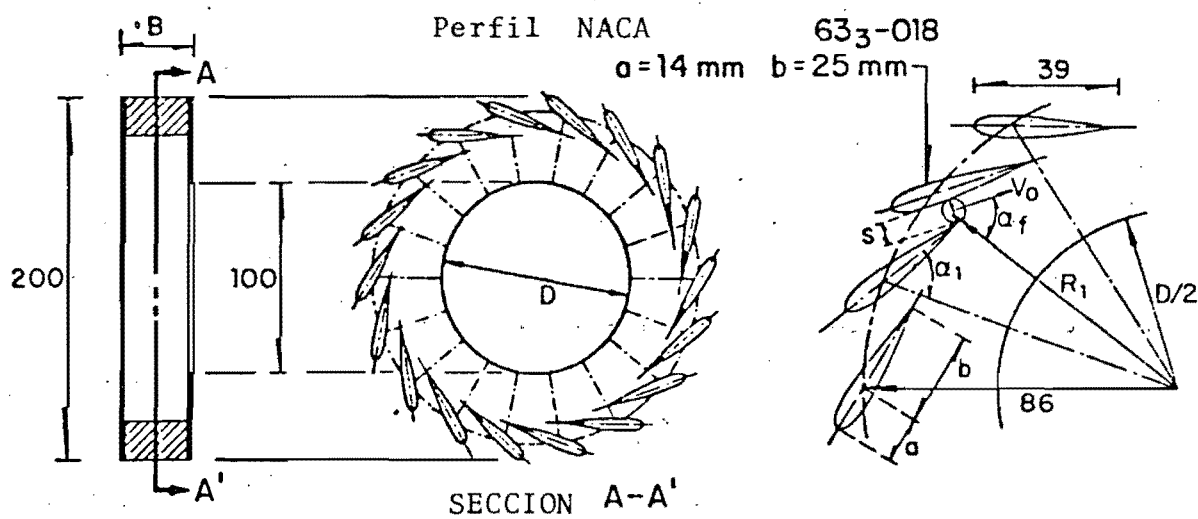
Y

$$Q_0 = N.s.B.V_0 \quad 4.7$$

siendo  $s$  la separación entre álabes;  $B$  la altura de los álabes y  $NN$  el número de los mismos. Utilizando las expresiones 4.6 y 4.7 puede calcularse el parámetro de giro que resulta:

$$G_0 = \frac{\Omega_e D}{\rho Q_0^2} = \frac{D R_1 \operatorname{sen} \alpha_f}{B.N.s.} \quad 4.8$$

En la figura 4.1 se muestran las características geométricas de siete sistemas de álabes y su correspondiente valor de  $G_0$  calculado con la expresión 4.8.



Dimensiones en mm.

Vane System	$\alpha_1$ (°)	B (mm)	$R_1$ (mm)	s (mm)	$\alpha_f$ (°)	$G_o$
I	40	40	73.62	14.58	46.25	0.507
II	50	40	76.75	11.00	53.00	0.774
III	56	40	78.85	8.59	56.50	1.063
IV	60	39	79.65	7.00	59.50	1.397
V	56	20	78.85	8.59	56.50	2.126
VI	61	20	79.95	6.60	60.00	2.914
VII	65	20	81.00	5.00	63.00	4.010

Fig. 4.1 Diagrama de definición de  $R_1$ ,  $s$ ,  $\alpha_1$ ,  $\alpha_f$ . Valores de  $G_o$  para siete diferentes sistemas de álabes.

#### 4.2 EXPERIENCIAS DEL INSTITUTO DE INGENIERIA USANDO AGUA COMO FLUIDO DE TRABAJO.

En esta sección se presentan los resultados obtenidos por el Instituto de Ingeniería en las pruebas realizadas en el generador de vórtices del propio Instituto, durante el periodo comprendido de noviembre de 1984 a marzo de 1985 y que también serán publicados en /20/.

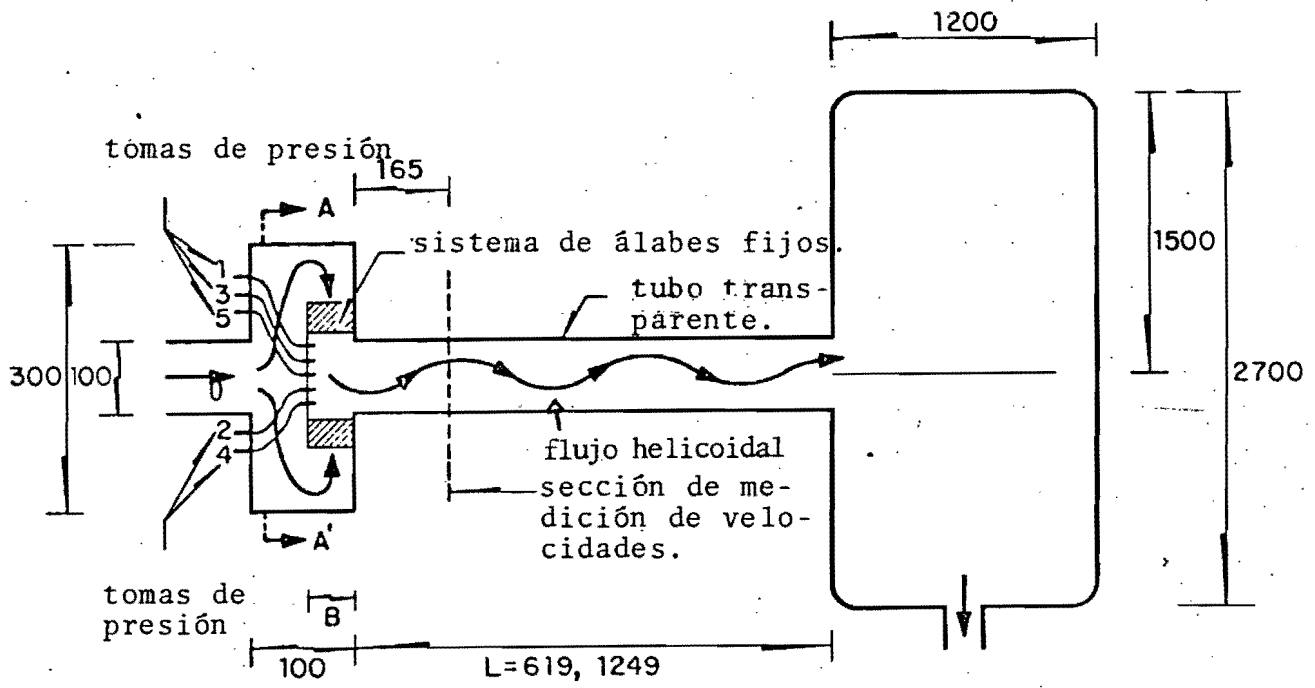
Los flujos estudiados se encuentran entre los siguientes intervalos:

$$0.84 \leq Re \times 10^{-5} \leq 1.2$$

$$0.507 \leq G_o \leq 2.126$$

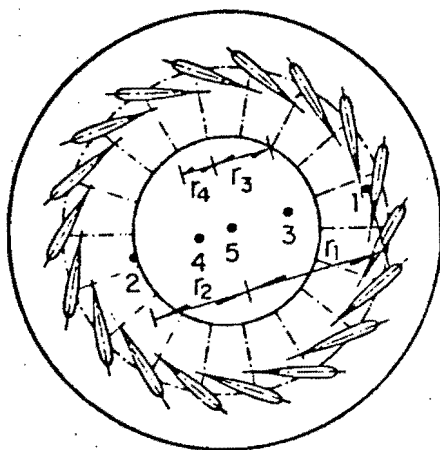
$$L/D = 6.19, 12.49$$

El trabajo experimental se realizó en una instalación que produce el flujo helicoidal mediante varios sistemas intercambiables de álabes fijos (generador de vórtices, ver figura 4.2). El agua



Dimensiones en mm.

Fig. 4.2 Diagrama esquemático del generador de vórtices.



Sist. álabes	posición r/R				
	1	2	3	4	5
I	1.467	1.082	0.700	0.350	0
IV	1.500	1.100	0.700	0.350	0
V	1.480	1.090	0.700	0.350	0

Sección A-A' de la fig. 4.2

Fig. 4.3 Posición de las tomas de presión sobre la tapa de los sistemas de álabes.

después de pasar por los álabes, entra a un tubo de lucita transparente de longitud "L" y de 100 mm de diámetro interior. El extremo aguas abajo del tubo se conecta con un tanque de 2.81 m<sup>3</sup> de volumen; por la parte inferior del tanque el agua pasa a un canal donde se afora el gasto con un vertedor triangular de pared delgada. La longitud del tubo de lucita puede cambiarse, y al combinarse con los diferentes sistemas de álabes y variando el gasto, se obtienen combinaciones de  $R_e$ ,  $G_o$  y L/D.

En este estudio se usaron dos relaciones L/D y tres sistemas de álabes. Cada sistema de álabes está construido con dieciocho perfiles fijos tipo NACA 63.018 (fig 4.1). Los valores del parámetro de giro de los sistemas usados, calculados con la expresión 4.8 son  $G_o = 0.507, 1.397$  y  $2.126$ , es decir, se emplearon los álabes I, IV y V.

Las presiones se midieron en las tomas 1, 2, 3 y 4 ubicadas en la tapa de los sistemas de álabes (fig 4.3). Todas las presiones se midieron con manómetros diferenciales de mercurio, tomando como presión de referencia la correspondiente a la toma 5 ubicada en el eje del sistema.

La medición de velocidades medias tangenciales ( $v_\theta$ ) y axiales ( $v_z$ ), se realizó con un equipo LASSER T.S.I. Incorporated, modelo 9100-3 de He-Ne de un solo rayo y con 0.035 w de potencia. La sección de mediciones se ubicó a 0.165 m del plano de salida del sistema de álabes, en cuatro posiciones a lo largo del radio de la sección.

Para las combinaciones de  $G_0 = 0.507$  y  $2.122$  y con  $L/D = 6.19$  y  $12.49$  se experimentaron tres gastos; los cuales se caracterizan por sus respectivos números de Reynolds. En las combinaciones de  $L/D$  con  $G_0 = 1.397$ , se experimentó solo con dos gastos. Las presiones fueron medidas en todos los casos y las velocidades solo cuando se emplearon los valores del parámetro de giro de los extremos. En todas las experiencias se mantuvo una presión aproximada de  $2 \times 10^5 \text{ N/m}^2$  en el tubo, para evitar la aparición de la fase gaseosa en los puntos de menor presión.

Para visualizar la posición de la línea de presiones mínimas en el flujo, se introdujo en el tanque de entrada a los álabes, una pequeña cantidad de aire comprimido. En las figuras 4.4 y 4.5 se muestra la posición de este volumen de aire, el cual coincide con el eje del tubo en todo el largo del tubo y es estable, excepto en las proximidades de la salida, donde pierde la simetría axial.

Los resultados de las mediciones de presión se presentan en forma adimensionada en las figuras 4.7  $p_i$  es la presión en el punto  $i$  según la numeración que se indica en la figura 4.4. Como -- puede observarse, la distribución radial de presiones es función de  $G_0$  y  $L/D$  e independiente del número de Reynolds. El parámetro adimensionado que caracteriza las presiones es  $D^4(p_i - p_s) / \rho Q_0^2$ .

Los resultados de las mediciones de las velocidades se presentan en forma adimensionada en las figuras 4.6a y 4.6b; siendo  $v_\theta$  la velocidad tangencial (media temporal),  $v_z$  la velocidad axial (me-

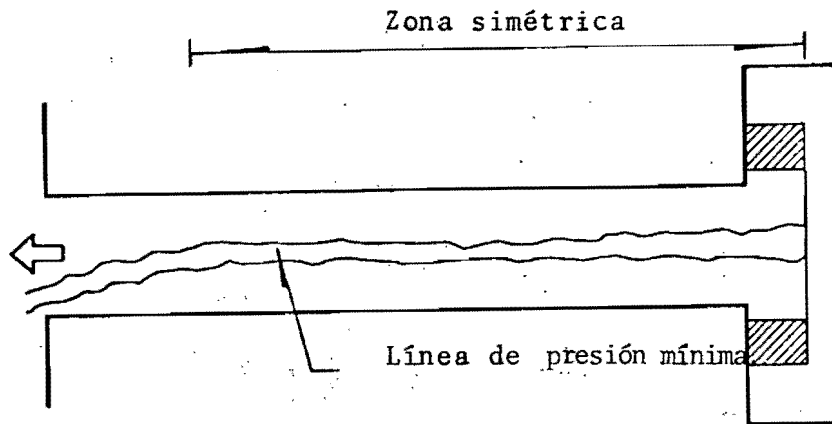


Fig.4.4 Localización de la línea de mínima presión. Exposición 1/2000 s

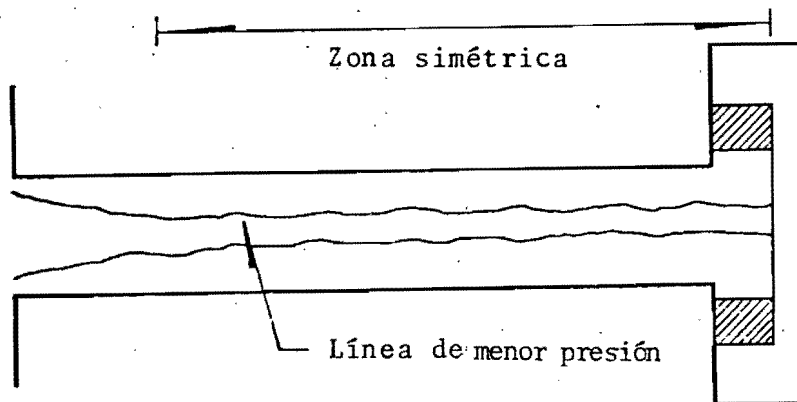


Fig. 4.5 Movimiento de la línea de mínima presión. Exp. 1/4 s.

dia temporal) y  $\bar{V}_z = Q_0/\pi R^2$ . Como puede observarse, la distribución de velocidades es función de  $G_0$  y  $L/D$ , e independiente del número de Reynolds, al igual que lo obtenido en la distribución de presiones.

#### 4.2.1 Determinación del núcleo del flujo

Para calcular la magnitud del núcleo del flujo (de radio  $r_n$ ), el cual se puede considerar como la zona del flujo donde se concentra la vorticidad, se presentan dos modelos:

MODELO DEL VORTICE CIRCULAR (V.C). Se adopta al flujo helicoidal el modelo de un vórtice circular confinado donde se cumple

$$\begin{aligned} v_r &= 0 & v_\theta &= \omega r & v_z &= 0 & 0 \leq r \leq r_{n1} \\ v_r &= 0 & v_\theta &= \frac{\Gamma}{2\pi r} & v_z &= \frac{Q_0}{\pi(R^2 - r^2)} & r_{n1} \leq r \leq R \end{aligned}$$

4.11

siendo  $v_r$ ,  $v_\theta$  y  $v_z$  las componentes de velocidad en coordenadas cilíndricas  $(r, \theta, z)$ . De la expresión de  $v_\theta$ , se tiene que la vorticidad de este modelo está concentrada en su totalidad dentro del núcleo. De las expresiones 4.11, igualando las velocidades tangenciales en  $r = r_{n1}$ , haciendo  $K_v = \Gamma/2\pi$ , donde  $\Gamma$  es la circulación, se tiene:

$$\omega = \frac{\Gamma}{2\pi r_{n1}^2} = \frac{K_v}{r_{n1}^2} \quad 4.12$$

Calculando el momento de la cantidad de movimiento en un punto cualquiera (i) ubicado a una distancia  $r_i$  del eje del tubo, se tiene:

$$\Omega_e = \rho r_i v_{\theta i} Q_0 \quad 4.13$$

De 4.11 y 4.12 en 4.13 y despejando  $K_v$ , se tiene:

$$K_v = \frac{\Omega_e}{\rho Q_0} = \frac{G_0 Q_0}{D} \quad 4.14$$

Sustituyendo 4.14 y 4.12 en las expresiones 4.11 y haciendo intervenir la velocidad axial media  $\bar{V}_z$  y definiendo  $\sigma = r/R$  y  $\sigma_{n1} = r_{n1}/R$ , se tiene

$$\frac{v_\theta}{\bar{V}_z} = \frac{\pi G_0}{2\sigma_{n1}^2} \cdot \sigma, \quad \frac{v_z}{\bar{V}_z} = 0 \quad 0 \leq \sigma \leq \sigma_{n1} \quad 4.15$$

$$\frac{v_\theta}{\bar{V}_z} = \frac{\pi G_0}{2\sigma}, \quad \frac{v_z}{\bar{V}_z} = \frac{1}{1-\sigma_{n1}^2} \quad \sigma_{n1} \leq \sigma \leq 1$$

De las expresiones 4.15 se observa que el campo adimensional de velocidades solo depende de  $G_0$  y  $\sigma_{n1}$ .

Según el modelo seguido, y recordando que la toma de presión 5 se encuentra en el eje del tubo, se tiene:

$$\frac{p_5}{\gamma} + \frac{\omega^2 r_i^2}{2g} = \frac{p_i(r)}{\gamma}, \quad 0 \leq r \leq r_{n1} \quad 4.16$$

De la ecuación de la energía entre la toma 0 (ubicada aguas arriba del sistema de álabes) y un punto comprendido en  $r \geq r_{n1}$ , se tiene:

$$\frac{p_0}{\gamma} + \frac{v_0^2}{2g} = \frac{p_i}{\gamma} + \frac{v_i^2}{2g} \quad 4.17$$

Haciendo  $r_i = r_{n1}$ , considerando  $V_0 \neq 0$  y sustituyendo 4.16 en 4.17 se llega a:

$$\frac{p_0 - p_s}{\gamma} = \frac{\omega^2 r_{n1}^2}{2g} - \frac{v_n^2}{2g} \quad 4.18$$

donde

$$v_n^2 = (v_\theta^2 + v_z^2)_n$$

Con las expresiones 4.15 sustituidas en 4.18, se puede calcular la distribución de presiones resultante referida a la presión  $\underline{a}$  dimensionada en el centro del flujo ( $p_s D^4 / \rho Q_0^2$ ), teniéndose:

$$\left( \frac{p_i - p_s}{\rho} \right) \frac{D^4}{Q_0^2} = 2G_0^2 \frac{\sigma^2}{\sigma_{n1}^4} \quad 0 \leq \sigma \leq \sigma_{n1} \quad 4.19$$

$$\left( \frac{p_i - p_s}{\rho} \right) \frac{D^4}{Q_0^2} = 2G_0^2 \left( \frac{2}{\sigma_{n1}^2} - \frac{1}{\sigma^2} \right) \quad \sigma_{n1} \leq \sigma \leq 1$$

Las curvas teóricas correspondientes a este modelo descrito por 4.15 para las velocidades adimensionadas y por 4.19 para las presiones adimensionadas, se muestran en las figuras 4.6 y 4.7 respectivamente, superpuestas a los resultados experimentales.

El valor del radio del núcleo adimensionado ( $\sigma_n$ ) se determinó para cada pareja  $G_0$ ,  $L/D$ , despejándolo de la expresión 4.19

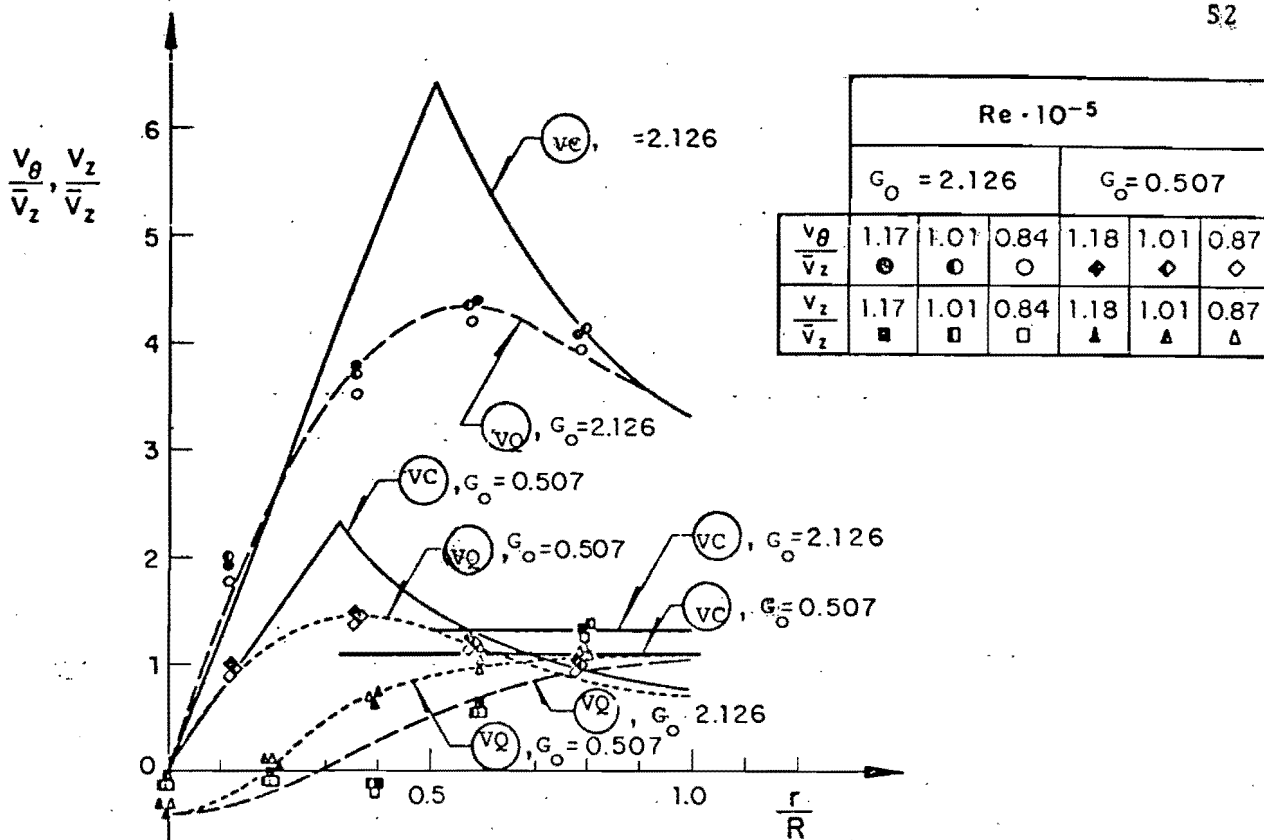


Fig. 4.6a Distribución radial de  $v_\theta/\bar{v}_z$  y  $v_z/\bar{v}_z$ . (L/D = 6.19)

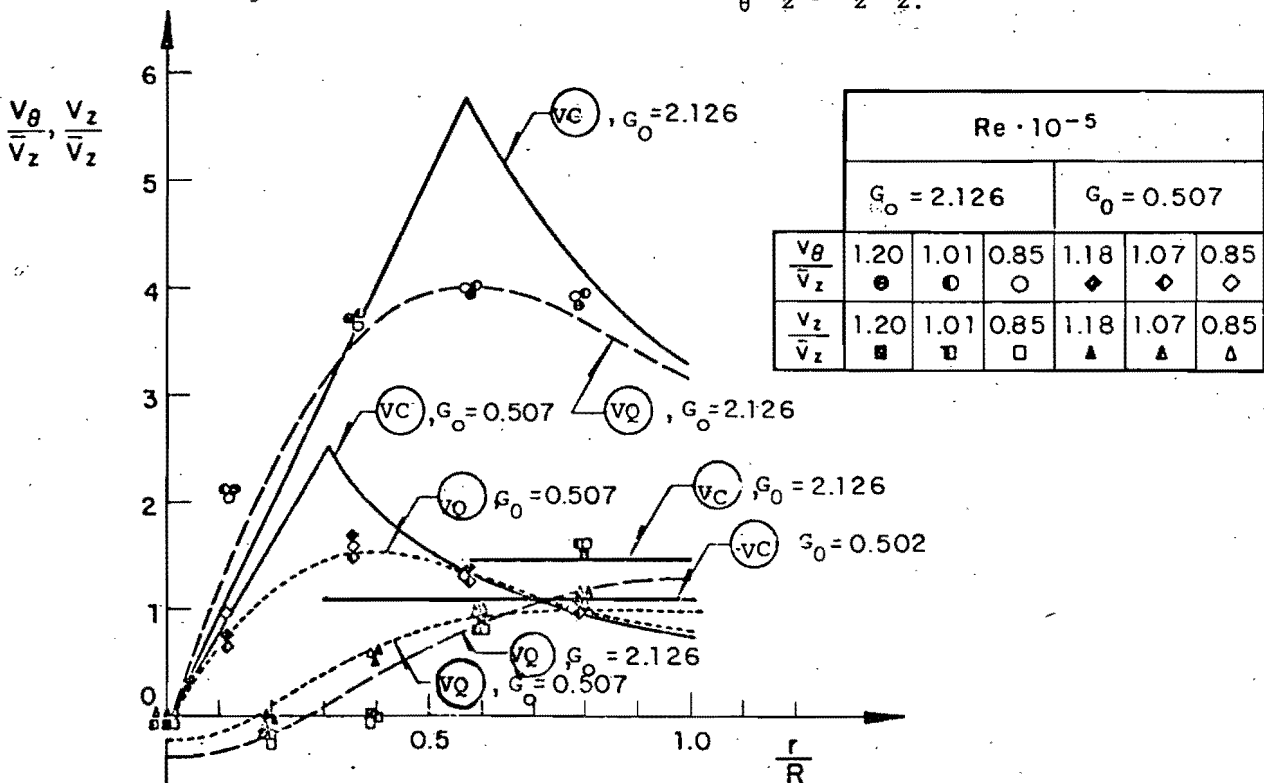
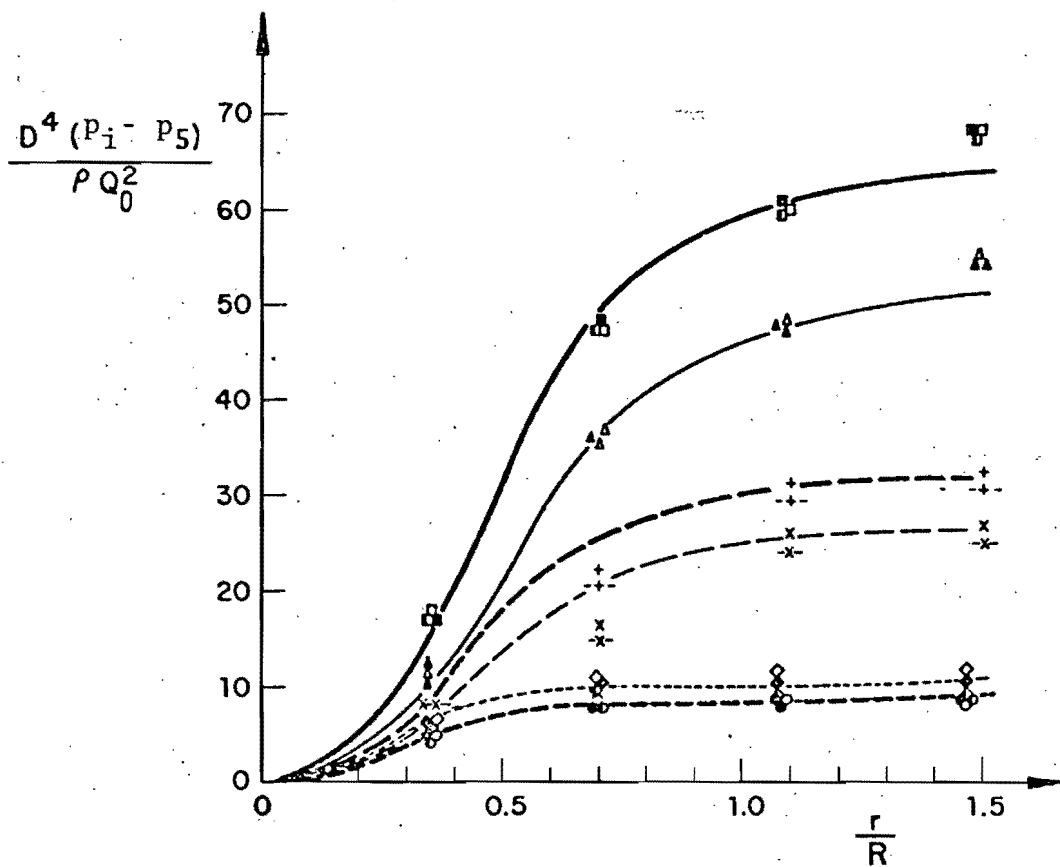


Fig. 4.6.b Distribución radial de  $v_\theta/\bar{v}_z$  y  $v_z/\bar{v}_z$ . (L/D = 12.49)



L/D	$G_0$	$Re \cdot 10^{-5}$			Ecc. 4.19
		1.18	1.00	0.87	
6.19	0.507	●	●	○	-----
	1.397	x+		-x+	-----
	2.126	■	■	□	-----
12.49	0.507	◆	◇	◇	-----
	1.397	x		-x-	-----
	2.126	▲	▲	▲	-----

Fig.4.7. Distribución de presiones en la tapa de los álabes.

correspondiente a  $\sigma_{n_1} \leq \sigma \leq 1$ . Los valores obtenidos son el promedio del valor encontrado para cada  $(p_i - p_5)D^4 / \rho Q_0^2$  para la toma ubicada en  $\sigma \neq 1$ . Se observó que  $\sigma_{n_1}$  no varía con el número de Reynolds. Para cada relación  $L/D$ ,  $\sigma_{n_1}$  solo varía con  $G_0$  (ver tabla 4.1).

$L/D \backslash G_0$	0.507	1.397	2.126
6.19	0.3340	0.4818	0.5147
12.49	0.3055	0.5212	0.5917

Tabla 4.1 Valores de  $\sigma_{n_1}$  en función de  $G_0$ , calculados con el modelo del vórtice circular.

En la figura 4.7 se observa el buen ajuste entre las mediciones de presión en la tapa de los álabes y los resultados del modelo del vórtice circular (V.C). Este modelo solo es válido para  $\sigma \leq 1$ , ya que para  $\sigma > 1$  se tiene flujo radial en el dispositivo experimental, lo cual no concuerda con el modelo propuesto por 4.11. En las figuras 4.6a y 4.6b se observa el ajuste del modelo V.C con respecto a las velocidades medidas. El ajuste es bueno en los puntos cercanos al centro del tubo y en los cercanos a la pared, y es malo en los entornos de  $\sigma_n$ , esto es explicable, ya que las velocidades se miden en una sección ubicada 165 mm aguas abajo del plano de salida de los álabes, donde ya se presentan las tensiones turbulentas generadas en el seno del flujo, las

cuales no son contempladas en el modelo,

MODELO DEL VORTICE-Q (V,Q) Este modelo propone los perfiles de velocidades

$$\frac{v_r}{\bar{V}_z} = 0 \quad ; \quad \frac{v_\theta}{\bar{V}_z} = \frac{u}{\alpha\sigma}(1 - e^{-\alpha\sigma}) \quad ; \quad \frac{v_z}{\bar{V}_z} = W_1 + W_2 e^{-\alpha\sigma^2} \quad 4.20$$

donde  $u$  y  $\alpha$  son constantes a determinar para poder obtener mediante mínimos cuadrados el mejor ajuste posible con las curvas experimentales de velocidad tangencial;  $W_1$  y  $W_2$  son las constantes a determinar para obtener el ajuste con las curvas experimentales de velocidades axiales. El radio del núcleo  $\sigma_{n_2}$  para este modelo se define como la abscisa del máximo de la curva  $v_\theta/\bar{V}_z$ .

En las figuras 4.6a y 4.6b se muestran sobre los puntos experimentales las curvas obtenidas al aplicar este modelo. Este modelo proporciona buen ajuste para las velocidades tangenciales adimensionadas, no siendo así para todos los valores de las velocidades axiales adimensionadas, donde el ajuste es bueno con  $G_0 = 0.507$  y malo con  $G_0 = 2.126$ .

En la tabla 4.2 se muestran los valores de  $u$ ,  $\alpha$ ,  $W_1$  y  $W_2$  obtenidos del ajuste de las ecuaciones 4.20, a partir de los valores experimentales. Nótese que al igual que en el modelo V.C,  $\sigma_{n_2}$

solo depende de  $G_0$ .

$G_0$ L/D	0.507				2.126			
	u	$\alpha$	$W_1$	$W_2$	u	$\alpha$	$W_1$	$W_2$
6.19	7.678	10.319	1.071	-1.441	13.515	3.926	1.114	-1.44
	$\sigma_{n_2} = 0.360$				$\sigma_{n_2} = 0.580$			
12.49	7.429	8.805	1.047	-1.232	12.545	3.851	1.397	-1.71
	$\sigma_{n_2} = 0.360$				$\sigma_{n_2} = 0.570$			

Tabla 4.2 Resultados del modelo V.Q. y los valores de  $\sigma_{n_2}$ .

#### 4.2.2 Determinación teórica del radio del núcleo

Como se mostró en 4.2.1, no importa cual sea el modelo seguido para determinar  $\sigma_n$ , este solo depende del parámetro de giro, y para cada valor de  $G_0$ , los valores de  $\sigma_{n_1}$  y  $\sigma_{n_2}$  son muy próximos entre sí. En la figura 4.8 se muestran en forma gráfica los valores de  $\sigma_{n_1}$  y  $\sigma_{n_2}$  en función de  $G_0$ . Se han incorporado con fines de comparación los valores del radio del núcleo adimensionado definido con el modelo V.Q. y presentados por Senoo y Nagata en /19/.

En la figura 4.8 se ha dibujado una curva ajustada por mínimos cuadrados sobre los puntos experimentales obtenidos por el Instituto de Ingeniería y que son presentados en 4.3.1 y los obtenidos por Senoo. La ecuación de la curva es  $\sigma_n = 0.426 G_o^{0.408}$  válida para  $0 \leq G_o \leq 2.126$  y representa un ajuste con un coeficiente de correlación lineal de 0.961.

De los resultados experimentales presentados en 4.3.1, se deduce la existencia de una relación funcional entre  $\sigma_n$  y  $G_o$ . A continuación se fundamenta teóricamente a partir del principio de Hamilton [21], la existencia de dicha relación, tal como lo propone Guarga en [20].

El principio de Hamilton establece que un fluido perfecto e incompresible que ocupa un volumen  $\Psi$  se mueve de forma tal que verifica:

$$\int_{t_0}^{t_1} (\delta E_c + \delta U_e) dt = 0 \quad 4.21$$

para todos los desplazamientos virtuales  $\delta P$  del movimiento que satisfagan (ver figura 4.9):

$$\mathbf{v} \cdot \delta P = 0 \quad \text{y} \quad \delta P = 0 \quad \text{en } t=t_0, t_1 \quad 4.22$$

La energía cinética del fluido contenido en  $\Psi$  es:

$$E_c = \frac{1}{2} \rho \int_{\Psi} v^2 dV \quad 4.23$$

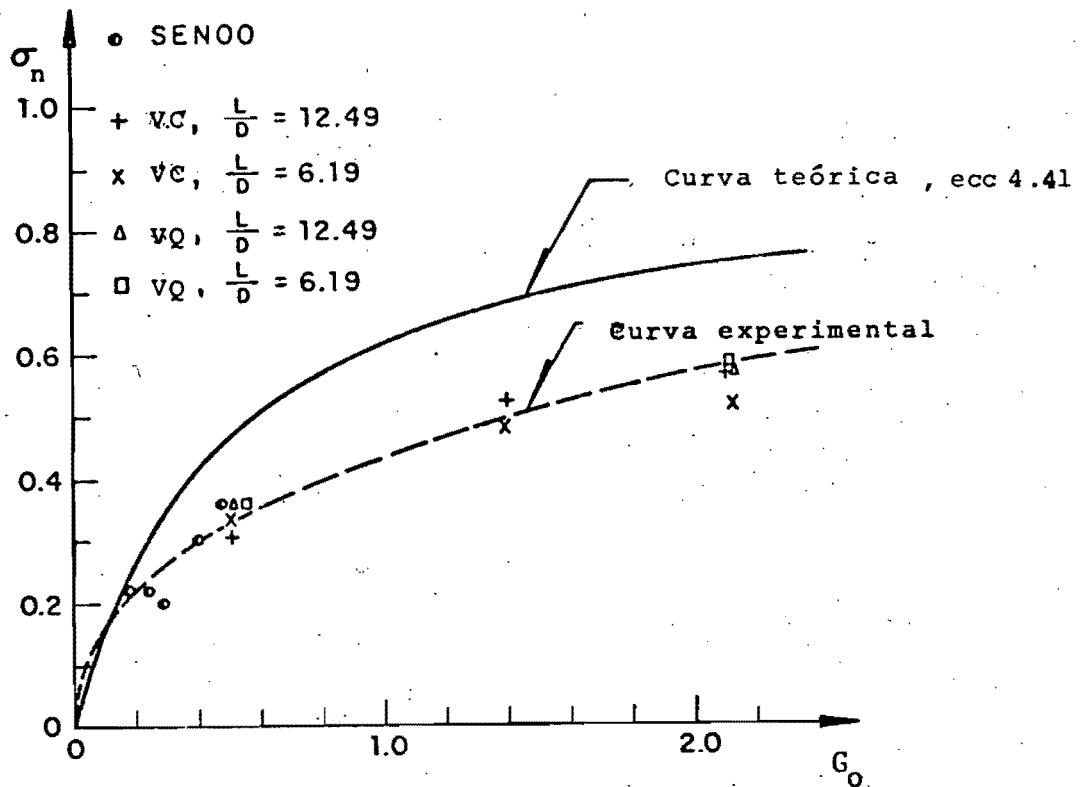


Fig. 4.8 Valores del radio del núcleo adimensionado ( $\sigma_n$ ) en función del parámetro de giro, empleando los modelos VC y VQ. Curva teórica  $G_0 - \sigma_n$ .

donde  $v^2 = v_r^2 + v_\theta^2 + v_z^2$

$\delta U_e$  es el trabajo virtual realizado contra las fuerzas exteriores de cuerpo ( $\bar{F}$ ) y de superficie ( $\bar{f}$ ) y que se requiere para pasar de la posición real a la virtual.

$$\delta U_e = \int_V \rho \bar{F} \cdot (\delta P) dV + \int_S \bar{f} \cdot \delta P dA \quad 4.24$$

donde S es la superficie del volumen V ;  $t_0$  y  $t_1$  son dos instantes del movimiento;  $\delta P$  debe estar determinado, ser continuamente diferenciable y debe satisfacer las condiciones de frontera impuestas al fluido en su movimiento.

Para aplicar el principio de Hamilton para explicar la relación "G<sub>o</sub>- $\sigma_n$ ", se considera un fluido perfecto e incompresible en movimiento dentro de un tubo recto de sección circular. Considerando que el campo de velocidades corresponde al modelo circular (V.C), explicado en 4.2.1, se tiene que la zona de flujo está comprendida en  $r_{n1} \leq r \leq R$ . El volumen V en  $t_0$  ocupa una distancia axial  $\Delta z$  (fig. 4.10).

Para poder satisfacer las condiciones 4.22,  $\delta P$  se define en coordenadas cilíndricas como:

$$\delta P = \epsilon f(t) \left[ \frac{1}{2} \left( \frac{R^2}{r} - r \right), 0, z \right] \quad 4.25$$

donde  $\epsilon$  es una constante arbitraria y

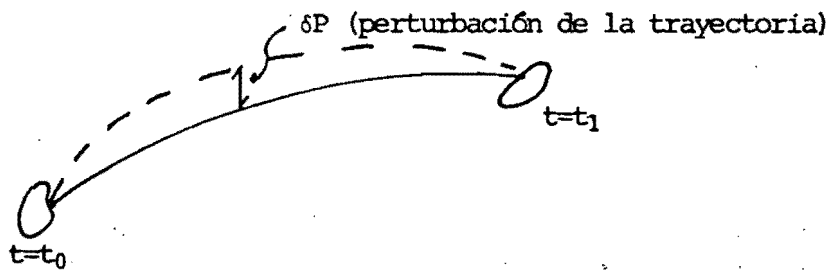


Fig. 4.9 Posiciones en  $t=t_0$  y  $t=t_1$  de una partícula de fluido que verifica el principio de Hamilton.

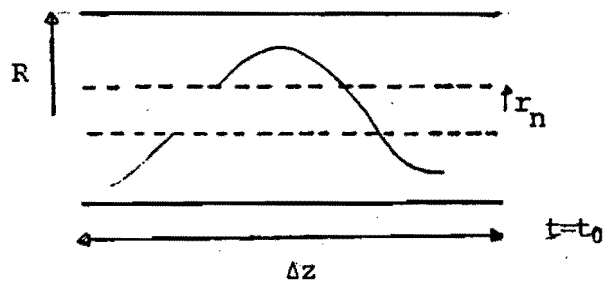


Fig. 4.10 Posición del volumen  $V$  en  $t=t_0$ .

$$f(t) = (t-t_0) (t_1-t) \quad 4.26$$

Como se puede observar, la expresión 4.25 está determinada, es continuamente diferenciable y satisface las condiciones de -- frontera ( $\delta P_r=0$ , en  $r=R$ ) y  $\nabla \cdot \delta P=0$

$$\nabla \cdot \delta P = \left\{ \frac{1}{r} \frac{\delta}{\delta r} \left[ -r - \frac{1}{2} \left( \frac{R^2}{r} - r \right) \right] + \frac{1}{r} \frac{\delta}{\delta \theta} (0) + \frac{\delta z}{\delta z} \right\} = 0 \quad 4.27$$

Cuando  $\delta P$  se refiere al movimiento virtual del radio del núcleo, 4.25 se escribe:

$$\delta r_n = \epsilon f(t) \frac{1}{2} \left( \frac{R^2}{r_n} - r_n \right) \quad 4.28$$

despejando  $\epsilon f(t)$  se tiene:

$$\epsilon f(t) = \frac{2\delta r_n}{\left( \frac{R^2}{r_n} - r_n \right)}$$

La variación de  $\Delta z$  debido a la perturbación es:

$$\delta(\Delta z) = \epsilon f(t) \Delta z = \frac{2\delta r_n}{\left( \frac{R^2}{r_n} - r_n \right)} \cdot \Delta z \quad 4.29$$

Calculando la energía cinética aplicando 4.23 y el modelo del vórtice circular, se tiene:

$$E_c = \frac{\rho}{2} \int_{\Psi} \left(\frac{K_V}{r}\right)^2 d\Psi + \frac{\rho}{2} \int_{\Psi} \left(\frac{Q}{A_c}\right)^2 d\Psi \quad 4.30$$

donde  $A_c = \pi(R^2 - r_n^2)$ ; integrando 4.30 se tiene:

$$E_c = \Delta z \ 2\pi \ \frac{\rho}{2} \left[ K_V^2 \operatorname{Ln} \frac{R}{r_n} + \frac{Q_0^2}{2\pi A_c} \right] \quad 4.31$$

Procediendo de igual manera, la energía cinética después de la perturbación es:

$$E'_c = (\Delta z + \delta \Delta z) 2\pi \ \frac{\rho}{2} \left[ K_V^2 \operatorname{Ln} \frac{R}{r_n + \delta r_n} + \frac{Q_0^2}{2\pi A'_c} \right] \quad 4.32$$

De 4.31 y 4.32, la perturbación  $\delta E_c = E_c - E'_c$  es:

$$\delta E_c = \frac{1}{2} \rho \pi \delta r_n \ \Delta z \left\{ - \frac{K_V^2}{r_n^2} + \frac{2r_n}{R^2 - r_n^2} \left[ K_V^2 \operatorname{Ln} \frac{R}{r_n} + \frac{Q_0^2}{\pi^2 (R^2 - r_n^2)} \right] \right\} \quad 4.33$$

Calculando  $\delta U_e$  se tiene:

$$\delta U_e = p_n \ 2\pi \ r_n \ \Delta z \ \delta r_n - \delta(\Delta z) 2\pi \int_{r_n}^R p(r) r \ dr \quad 4.34$$

donde  $p_n$  es la presión desde el núcleo al fluido. Haciendo:

$$C_a = p + \frac{v^2 \rho}{2} \quad 4.35$$

se tiene:

$$p = C_a + \frac{\rho}{2} (v_\theta^2 + v_z^2)$$

y

4.36

$$p_n = C_a + \frac{\rho}{2} (v_\theta^2 + v_z^2) \quad r=r_n$$

entonces

$$\begin{aligned} \int_{A_c} p(r) dA &= C_a A_c - \frac{\rho}{2} \int_{A_c} (v_\theta^2 + v_z^2) dA = \\ &= C_a A_c - 2\pi \frac{\rho}{2} \left[ K_v^2 \operatorname{Ln} \frac{R}{r_n} + \frac{Q_0^2}{A_c^2} \frac{(R^2 - r_n^2)}{2} \right] \end{aligned} \quad 4.37$$

y

$$\begin{aligned} p_n 2\pi r_n \Delta z \delta r_n &= C_a (2\pi r_n \Delta z \delta r_n) - \frac{\rho}{2} 2\pi r_n \Delta z \delta r_n \left[ \right. \\ &\quad \left. \frac{K_v^2}{r_n^2} + \frac{Q_0^2}{A_c^2} \right] \end{aligned} \quad 4.38$$

de 4.28, 4.37 y 4.38, se tiene:

$$\begin{aligned} \delta U_e &= \frac{1}{2} \rho \pi \epsilon f(t) \left( \frac{R^2}{r_n} - r_n \right) \Delta z \left\{ - \frac{K_v^2}{r_n^2} + \frac{2r_n}{R^2 - r_n^2} \left[ \right. \right. \\ &\quad \left. \left. K_v^2 \operatorname{Ln} \frac{R}{r_n} + \frac{Q_0^2}{\rho^2 (R^2 - r_n^2)} \right] \right\} \end{aligned} \quad 4.39$$

Sustituyendo 4.33 y 4.39 en 4.21, y recordando que en el modelo V.C,  $r_n = r_{n_1}$ , se tiene que para verificar 4.21 se debe cumplir:

$$-\frac{K_V^2}{r_{n_1}^2} + \frac{2r_{n_1}K_V}{R^2 - r_{n_1}^2} \ln \frac{R}{r_{n_1}} + \frac{Q_0 r_{n_1}}{\pi^2 (R^2 - r_{n_1}^2)^2} = 0 \quad 4.40$$

recordando que  $K_V = G_0 Q_0 / D$  y  $\sigma = r_n / R$ , 4.40 puede escribirse:

$$G_0^2 \left[ \frac{1}{4\sigma_{n_1}} + \frac{\sigma_{n_1}}{(1-\sigma_{n_1}^2)} \ln \sigma_{n_1} \right] = \frac{\sigma_{n_1}}{\pi^2 (1-\sigma_{n_1}^2)^2} \quad 4.41$$

es decir, se define una relación funcional  $G_0 = G_0(\sigma)$ . Como se puede observar, el radio del núcleo adimensionado solo depende del parámetro de giro, siendo independiente de las otras características del flujo. Cualitativamente la expresión 4.41 proporciona mayores valores de  $\sigma_{n_1}$  que los medidos experimentalmente. La diferencia de resultados indica que las tensiones turbulentas presentes en el fenómeno real, tienden a reducir el efecto de un incremento de  $G_0$  respecto al incremento de  $\sigma_{n_1}$  correspondiente, en relación a lo previsto en la expresión 4.11.

#### 4.2.3 Comprobación del valor del parámetro de giro

Por definición del momento de la cantidad de movimiento, se tiene:

$$\Omega_e = \int_S \rho (\mathbf{a}-\mathbf{o}) \times \bar{\mathbf{V}} (\bar{\mathbf{V}} \cdot \bar{\mathbf{n}}) dA \quad 4.42$$

donde "a" es un punto genérico, "o" un punto fijo sobre el eje del sistema de álabes, " $\bar{\mathbf{V}}$ " la media temporal de la velocidad en el punto "a",  $\bar{\mathbf{n}}$  la normal saliente en la superficie de integración y S la superficie de integración.

Proyectando sobre el eje del tubo, se tiene:

$$\Omega_e = 2\pi\rho \int r^2 v_\theta v_z dr \quad 4.43$$

multiplicando por  $R^3/R^3$  el lado derecho de 4.43, se llega a:

$$\Omega_e = 2\pi\rho R^3 \int \left(\frac{r}{R}\right)^2 v_\theta v_z d\left(\frac{r}{R}\right) \quad 4.44$$

expresando 4.44 en forma adimensionada, se tiene:

$$G_o = \frac{\Omega_e D}{\rho Q_o^2} = \frac{4\pi R^2}{Q_o^2} \int \left(\frac{r}{R}\right)^2 v_\theta v_z d\left(\frac{r}{R}\right) \quad 4.45$$

En la tabla 4.3 se muestran los valores de  $v_\theta$  y  $v_z$  obtenidos experimentalmente, medidos a diferentes distancias  $r/R$ , con  $G_o = 0.507$  (calculado con el método gráfico) y  $Q_o = 9.238 \times 10^{-3} \text{ m}^3/\text{s}$ . Al calcular  $G_o$  empleando 4.45, haciendo la integración de forma gráfica (fig. 4.11) se obtuvo  $G_o = 0.482$ . Esto muestra lo valioso de la técnica del parámetro de giro, ya que los valores solo difieren un 5%.

$r/R$ ( $\sigma$ )	$v_z$ (m/s)	$v_\theta$ (m/s)
0.0	-0.090	0.0
0.2	0.029	1.514
0.4	0.764	1.935
0.6	1.222	1.641
0.8	1.372	1.282
1.0	1.111	1.029

Tabla 4.3 Valores de  $v_z$  y  $v_\theta$  medidos cuando  $Q=9.238$  l/s y  $G_o = 0.507$  (calculado con el método gráfico).

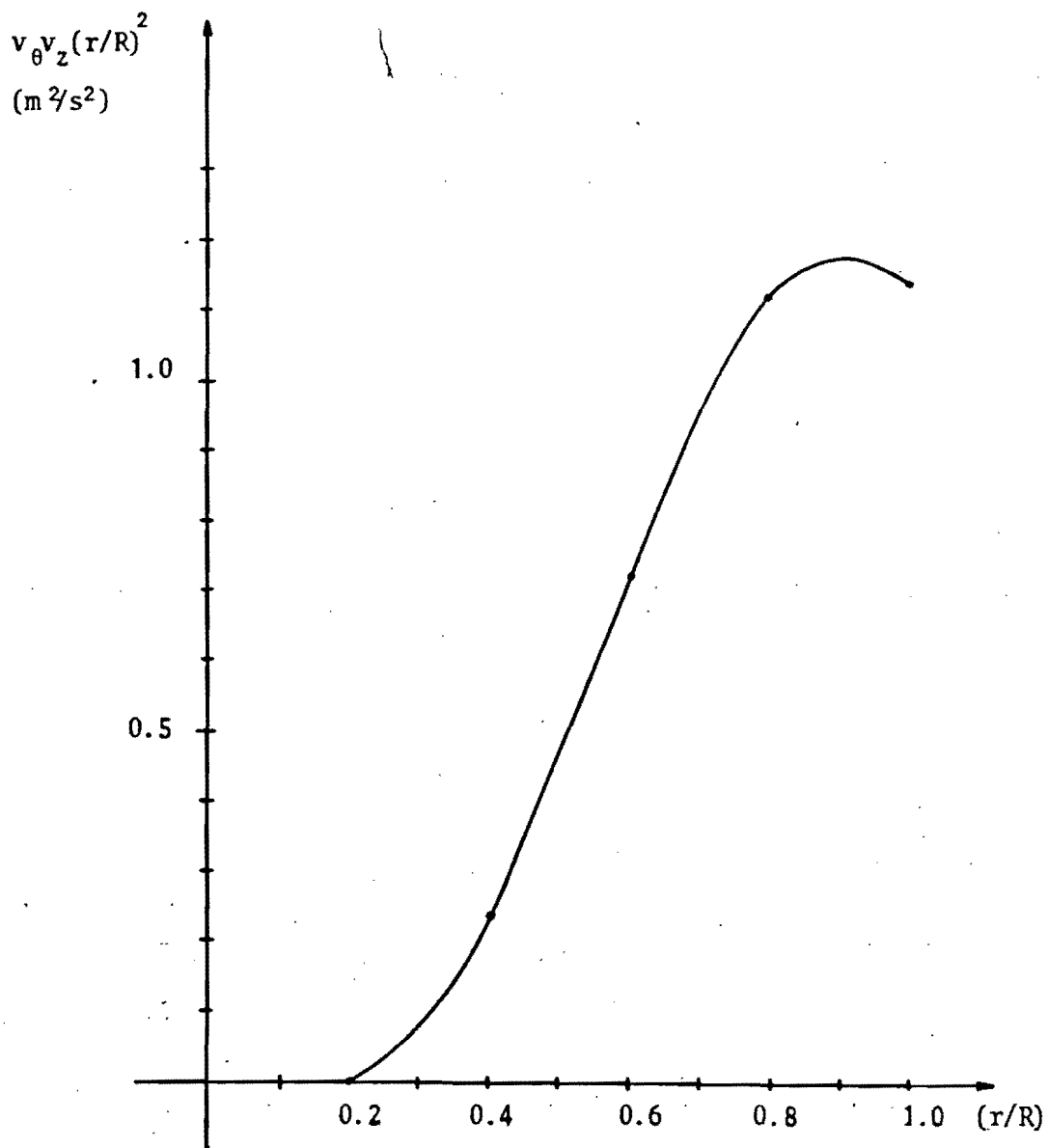


Fig. 4.11 Curva  $(r/R)^2 - v_\theta v_z (r/R)^2$ , para determinar el valor del parámetro de giro.

## CAPITULO 5 . CARACTERISTICAS OSCILATORIAS DEL FLUJO HELICOIDAL TURBULENTO Y CONFINADO

En este capítulo se presentan los resultados experimentales obtenidos en el Instituto de Ingeniería al estudiar el flujo helicoidal, turbulento y sin cavitación en el interior de tubos rectos de sección circular , para números de Reynolds y parámetros de giro altos. Este estudio es la primer etapa de un proyecto más amplio orientado a mejorar el conocimiento básico de los fenómenos hidrodinámicos asociados al flujo helicoidal que se produce en la descarga de las turbinas Francis, cuando estas operan fuera de las condiciones de diseño. Los fluidos de trabajo empleados son aire y agua. Los resultados aquí presentados también se publicarán en /22/.

En este estudio se analizan los espectros de las señales de presión en el extremo aguas abajo del tubo y se encuentran experimentalmente relaciones funcionales entre el parámetro de frecuencia, el parámetro de giro a la entrada del tubo y la longitud adimensionada. Se plantea un modelo teórico simple para evaluar la disminución del parámetro de giro a lo largo del tubo. Dicho modelo se calibra con los resultados experimentales obtenidos, y se emplea para determinar una nueva relación funcional entre el parámetro de frecuencia y el parámetro de giro a la salida del tubo. En dicha relación no interviene la longitud del tubo.

El flujo se caracteriza por medio de tres parámetros adimensionados básicos: el número de Reynolds ( $R_e$ ), el parámetro de giro ( $G_o$ ) y la relación entre la longitud del tubo y el diámetro interior del mismo ( $L/D$ ). El parámetro de giro se define para cualquier sección recta del tubo, dentro de la cual se establece flujo helicoidal, pero como se demuestra en este trabajo,  $G_o$  decrece en el sentido del flujo, por ello, cuando se haga referencia a  $G_o$  en el extremo aguas arriba del tubo, este se designará con  $G_{oe}$ .

Los intervalos de los números adimensionados dentro de los que se trabajó en las pruebas de laboratorio presentadas en este capítulo son las siguientes:

$$0.25 < R_e \cdot 10^{-5} < 2$$

$$0.507 < G_{oe} < 4.010$$

5.1

$$L/D = 1.82, 3.45, 6.19, 12.49, 18.69 \text{ y } 24.94.$$

### 5.1 DESCRIPCION DEL TRABAJO EXPERIMENTAL

El trabajo de laboratorio se ha efectuado empleando una instalación experimental que funciona con aire o con agua. Esta instalación es la descrita en la sección 4.3 y cuyo diagrama esquemático se muestra en la figura 4.2. Cuando el fluido de trabajo empleado es agua, el gasto es aforado con un vertedor triangular.

Cuando el fluido de trabajo es aire, el aforo se hace con un orificio ubicado aguas arriba del sistema de álabes. Los tubos de lucita y los sistemas de álabes pueden cambiarse para modificar  $L/D$  y  $G_{oe}$  respectivamente.

Las características geométricas de los sistemas de álabes se indican en la figura 4.1, donde además se indica el valor del parámetro de giro calculado con el método gráfico, y que para el caso en estudio corresponde a  $G_{oe}$  (parámetro de giro a la entrada del tubo).

Las mediciones de presión se realizaron a lo largo del tubo, mediante tomas alineadas sobre una generatriz, y distantes entre sí 150 mm. Para la medición de presiones oscilatorias en aire, se emplearon transductores marca National, modelo LX 1802 DZ con un alcance de 0-15 psi en la presión, de 0-85°C en la temperatura y frecuencia de resonancia de 50 kHz. Cuando se empleó agua, se usaron transductores marca Gould-Statham, modelo PA 822-200, alcance de 0-200 psi en la presión y -53.9 a 121.1°C en la temperatura. En ambos casos se procesaron las señales sin incorporar filtros, usando un analizador Hewlett Packard, modelo HP 3582A, con el cual se obtuvieron los espectros de módulos. Esta información fue grabada y procesada gráficamente mediante una grabadora y expresada gráficamente mediante una computadora Apple II y un dispositivo de expresión gráfica Hewlett Packard modelo HP 7440A.

Usando aire como fluido de trabajo, se realizaron pruebas combinando los siete sistemas de álabes indicados en la figura 4.1, con las seis longitudes de tubo indicadas en las expresiones 5.1. Se ensayaron por lo tanto, cuarenta y dos combinaciones  $G_{oe}$ -L/D. Para cada combinación se ensayaron varios números de Reynolds (máximo ocho, mínimo cuatro). El mayor valor de  $R_e$  utilizado en cada combinación, quedo fijado por el gasto máximo que el ventilador era capaz de suministrar, en tanto que el menor se escogió mayor de  $0.25 \times 10^5$ . Cuando se uso agua, se ensayaron tres sistemas de álabes ( $G_{oe}$ ) y dos longitudes diferentes de tubo (L/D). En consecuencia, fueron ensayadas seis combinaciones. Para cada combinación se ensayaron varios números de Reynolds (máximo tres, mínimo dos)

El mayor  $R_e$  utilizado en cada combinación estuvo fijado por el máximo gasto que la bomba era capaz de suministrar, en tanto que el menor nunca fue inferior de  $0.84 \times 10^5$ . Al trabajar con agua, la presión en el tubo se mantuvo aproximadamente en  $2 \times 10^5$  N/m<sup>2</sup>, con el objeto de evitar la fase gaseosa en el interior del tubo.

Los resultados de las pruebas experimentales empleando aire ya fueron publicados en /18/. Las pruebas experimentales empleando agua se realizaron simultaneamente a las descritas en la sección 4.3 .

En cada experiencia (con aire o con agua), se obtuvo el espectro de módulos (espectro RMS, promedio de 32 muestras) de la señal de presión dada por el transductor ubicado en una toma distante 40 mm del plano de salida del tubo recto. Del análisis de dicho espectro se determinó la frecuencia correspondiente a la amplitud máxima la cual se denomina "frecuencia del vórtice" (f). Dicha frecuencia interviene en el parámetro de frecuencia  $F = fD^3/Q_0$ , el cual ya se había definido en la sección 4.1.

En las figuras 4.4 y 4.5 se muestran dos fotografías, una tomada con exposición de 1/2000 s y la otra con 1/4 s, ambas corresponden a una experiencia donde se usó agua como fluido de trabajo con  $G_{oe} = 2.126$ ,  $L/D = 6.19$  y  $Re = 0.84 \times 10^5$ . Antes de fotografiar, se introdujo agua arriba de los álabes, una pequeña cantidad de aire con objeto de visualizar el fenómeno. Dentro del flujo el aire se desplaza hacia la zona de presiones mínimas y allí permanece por varios minutos antes de desaparecer por arrastre y dilución. Dicha zona coincide con el eje del tubo recto, excepto en la proximidad de la salida del tubo (extremo aguas abajo), donde el fenómeno pierde simetría axial, la línea de presiones mínimas se aparta del eje (fig. 4.4) y gira con el flujo. Esto puede observarse en la fotografía con 1/4 s de exposición (fig. 4.5). Al colocar dos transductores de presión, uno a 40 mm y otro a 190 mm del plano de salida, se registraron los espectros de módulos mostrados en las figuras 5.1a y 5.1b respectivamente. Como puede observarse, la oscilación cuya

ARCHIVO : A1.170185  
CH A: 8.00 mV FS      1.00 mV/DIV  
MKR: 6.83 mV

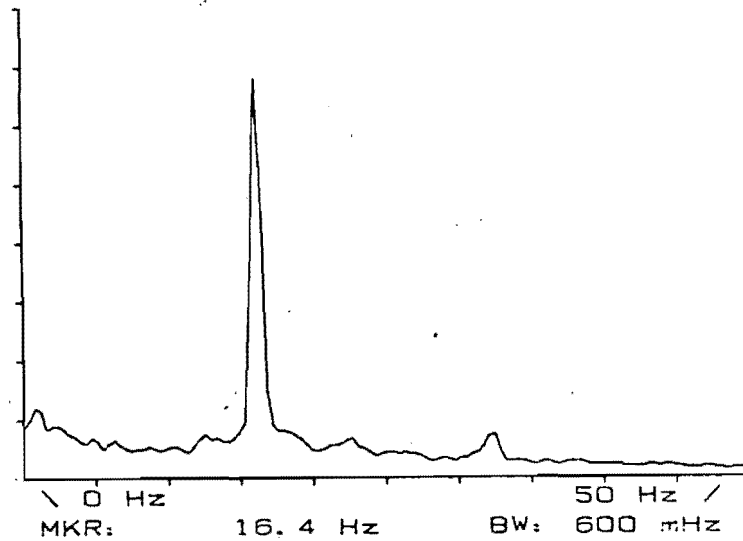


Fig. 5.1a Espectro de módulos de la señal de presión correspondiente a la toma ubicada 40 mm aguas arriba del plano de salida del tubo recto.

ARCHIVO : A2.170185  
CH A: 8.00 mV FS      1.00 mV/DIV  
MKR: 1.54 mV

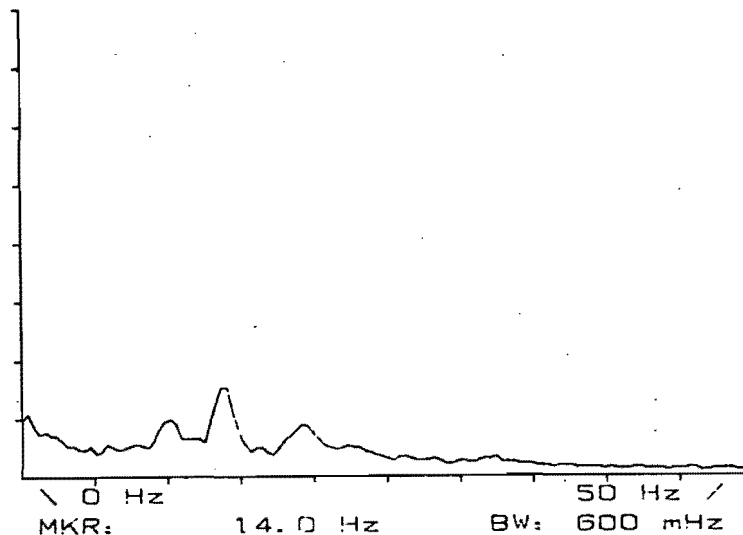


Fig. 5.1b Espectro de módulos de la señal de presión correspondiente a la toma ubicada 190 mm aguas arriba del plano de salida del tubo recto.

amplitud electrónica alcanza 6,83 mV (fig. 5.1a) corresponde al transductor ubicado en el extremo aguas abajo, en tanto que en el otro transductor se registra una amplitud máxima de 1.54 mV. Es por esto que se ha caracterizado al fenómeno oscilatorio como un fenómeno local, vinculado con el extremo aguas abajo del tubo recto. El fenómeno presentado en las figuras 4.4, 4.5, 5.1a y 5.1b, si bien corresponde a un caso particular, es representativo de un conjunto de observaciones semejantes en todas las experiencias en las que se empleó agua.

## 5.2 RESULTADOS OBTENIDOS

En la figura 5.2 se presentan los resultados obtenidos al determinar el parámetro de frecuencia  $F$  para  $L/D = 12.49$ , usando aire y agua. Se observa que al crecer  $R_e$ ,  $F$  se mantiene constante para  $G_{oe}$ . Esta independencia del número de Reynolds (cuando  $R_e > 0.8 \times 10^5$ ) se observó en todas las pruebas realizadas, independientemente del valor de  $L/D$ . Nótese también que no hay diferencias importantes al emplearse aire o agua.

En la figura 5.3 se presenta el valor límite de  $F$  para  $R_e$  altos correspondiente a cada pareja de  $G_{oe}$  y  $F$ . Nótese la fuerte influencia que ejerce  $L/D$  sobre  $F$  para igual  $G_{oe}$ . En la figura 5.4 se han dibujado las curvas de la forma

$F = aG_{oe}^2 + bG_{oe} + c$ , ajustadas por mínimos cuadrados a los da

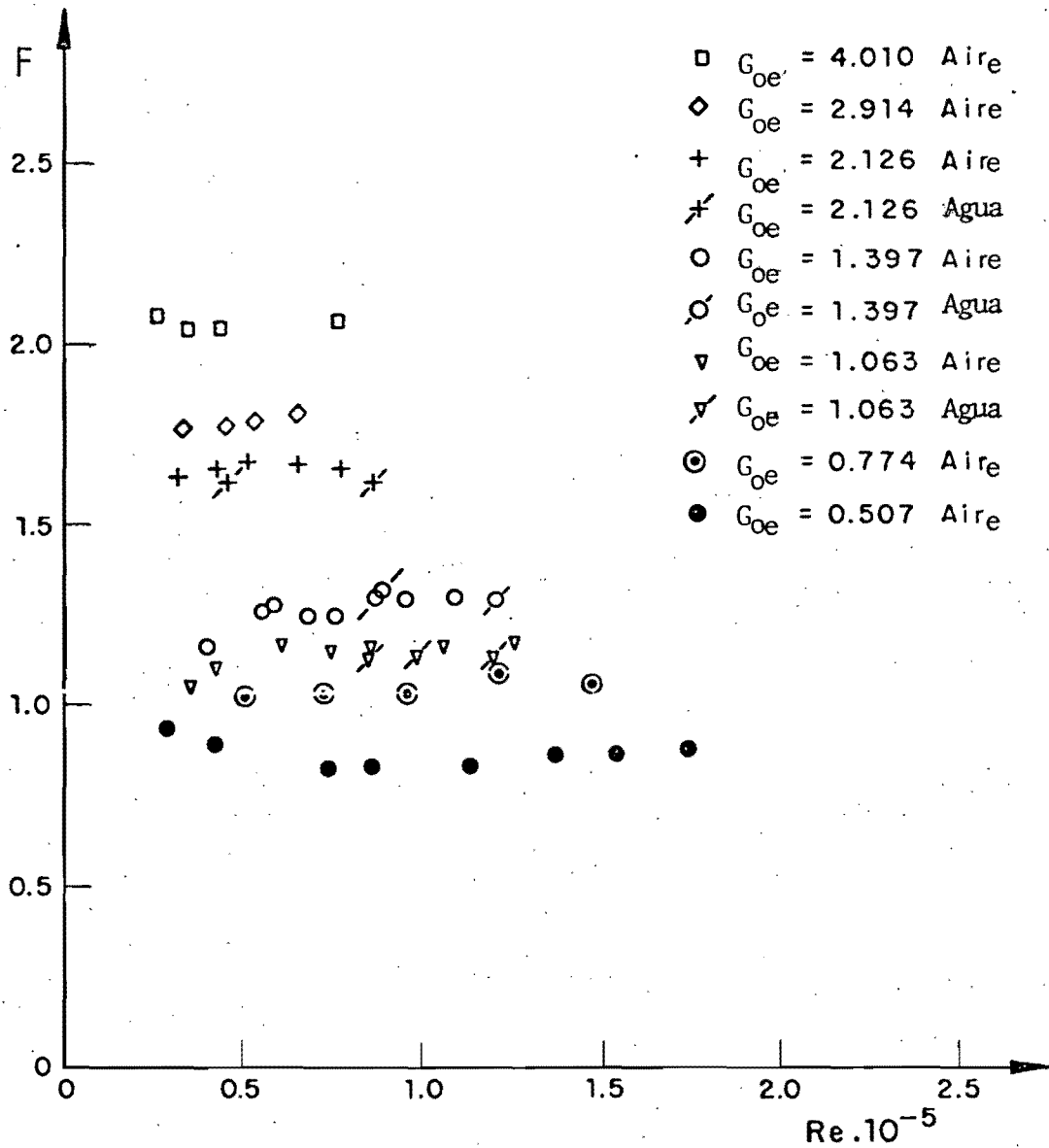


Fig. 5.2 Parámetro de frecuencia en función del número de Reynolds para tubo cilíndrico.  $L/D = 12.49$ . (Experiencias con aire y con agua).

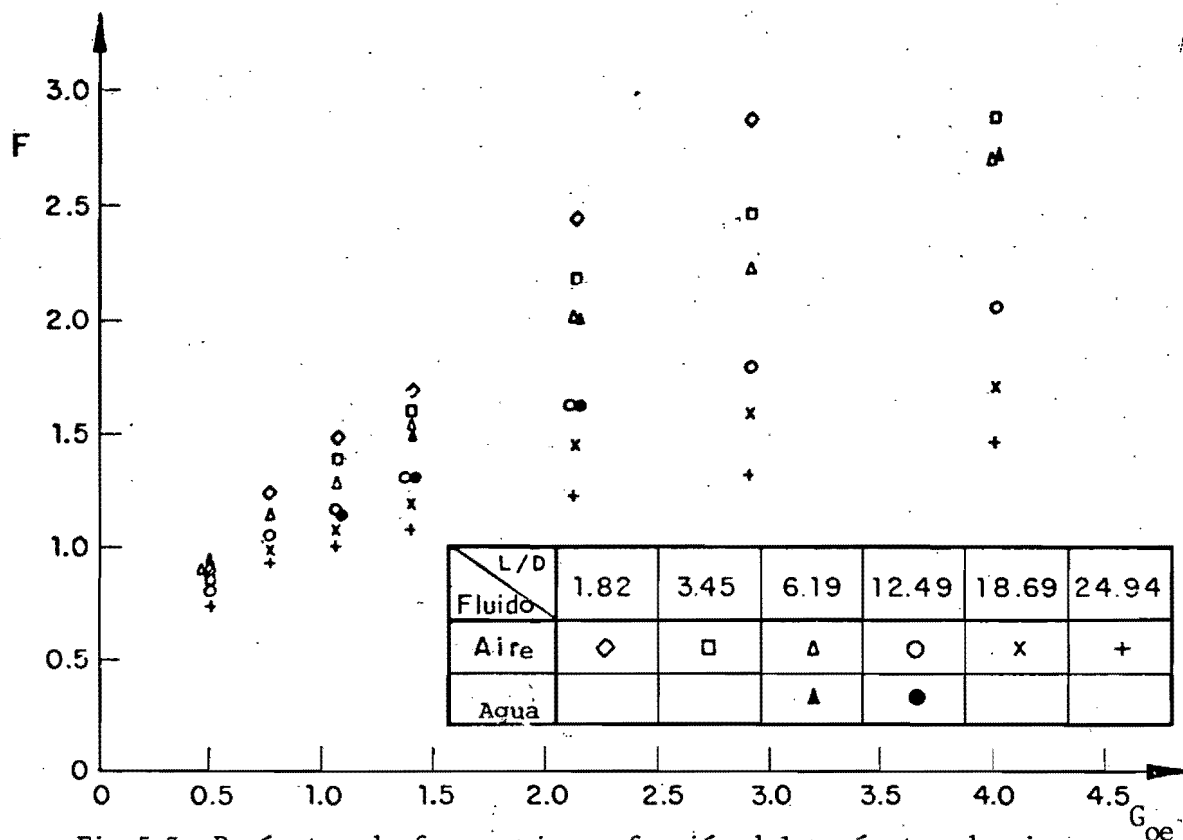


Fig 5.3: Parámetro de frecuencia en función del parámetro de giro a la entrada del tubo. (Puntos experimentales).

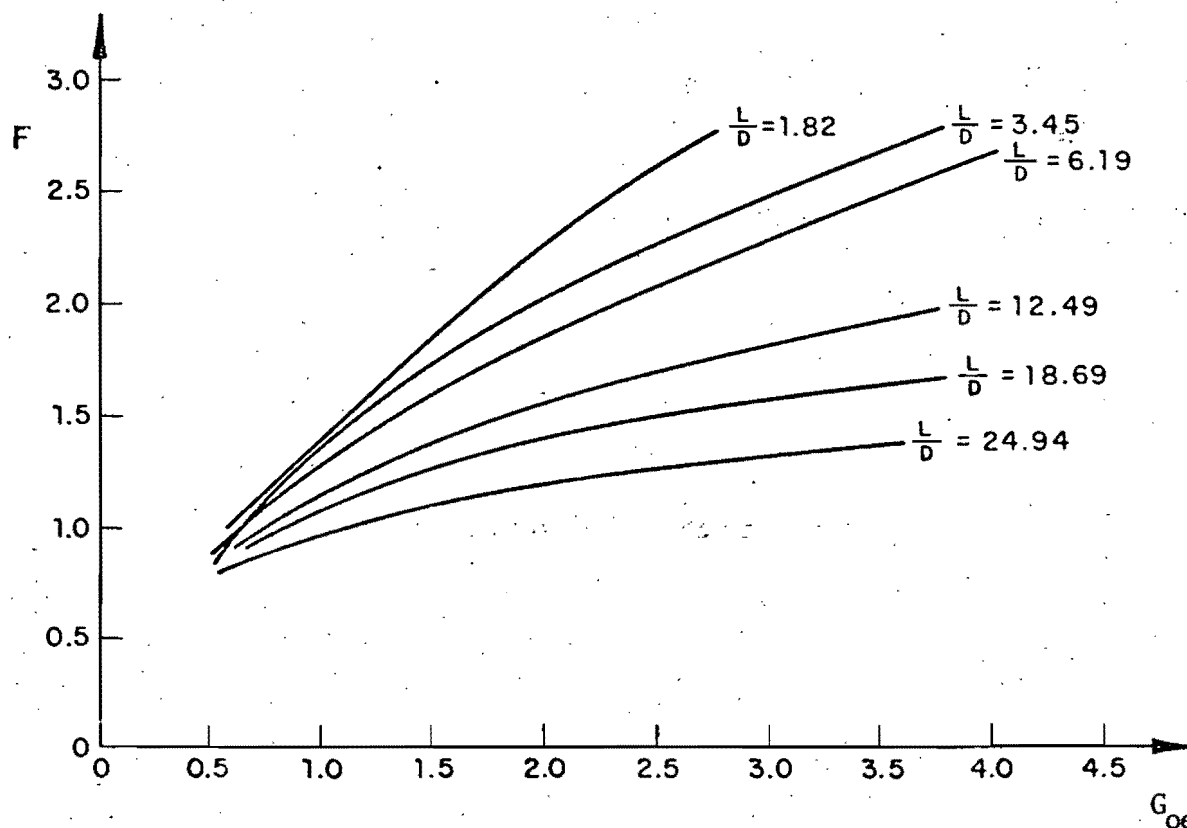


Fig. 5.4 Parámetro de frecuencia en función del parámetro de giro a la entrada del tubo. (Curvas ajustadas por mínimos cuadrados).

tos experimentales. Estas curvas son utilizadas en la sección 5.3 para evaluar la fricción.

### 5.3 EVALUACION DEL DECAIMIENTO DEL PARAMETRO DE GIRO A LO LARGO DEL TUBO

Recordando que el fenómeno oscilatorio en el extremo aguas abajo del tubo es local, es razonable pensar que el parámetro de frecuencia  $F$ , está condicionado por el parámetro de giro en la salida ( $G_{OS}$ ). Al observar los resultados obtenidos en la figura 5.4 dado un  $F$ , el valor de  $G_{Oe}$  necesario para obtener el mismo  $F$  depende de  $L/D$ . También se observa que para el mismo  $F$  a mayor  $L/D$ , mayor  $G_{Oe}$ . Esto implica que para obtener el mismo  $G_{OS}$  (a la salida), se requiere un  $G_{Oe}$  (a la entrada), que crece con  $L/D$ . Esa disminución del parámetro de giro a lo largo del tubo se produce por fricción, siendo el propósito de esta sección presentar un modelo teórico sencillo para evaluarla, y poder calcular entonces, dados  $G_{Oe}$  y  $L/D$ , el  $G_{OS}$  resultante.

Aplicando la ecuación del momento de la cantidad de movimiento a un volumen limitado por el tubo y dos secciones transversales del mismo, separadas  $\Delta z$ , y proyectando dicha ecuación sobre el eje del tubo y haciendo tender  $\Delta z$  a cero, se obtiene la siguiente ecuación escalar en coordenadas cilíndricas:

$$\frac{d\eta_e}{dz} = -\tau_\theta R^2 2\pi \quad 5.2$$

donde el eje  $z$  está orientado en el sentido del flujo medio, y  $\tau_\theta$  es la componente tangencial de la tensión cortante ( $\tau$ ) ejercida por la pared del tubo sobre el fluido. La tensión rasante puede evaluarse a partir de la distribución de velocidades en el flujo helicoidal, admitiendo una ley de distribución de velocidad de potencia  $1/7$ , para la capa límite tridimensional cercana a la pared. En este caso se tiene según /23/:

$$\phi = 8.74\eta^{1/7} \quad 5.3$$

donde  $\phi = v/v_*$  y  $\eta = \delta v_*/v$ , siendo  $v$  la velocidad en el exterior de la capa límite,  $\delta$  el espesor de la capa límite y  $v_*^2 = (\tau/\rho)$  la velocidad de fricción. De la expresión 5.3 puede obtenerse la tensión rasante en función de  $v$  y  $\eta$ , resultando:

$$v_* = \frac{v}{8.74 \eta^{1/7}} = \sqrt{\frac{\tau}{\rho}}$$

despejando a  $\tau$  se tiene:

$$\tau = \frac{\rho v^2}{76.39 \eta^{2/7}} \quad 5.4$$

La velocidad  $v$ , se calcula mediante el modelo del vórtice circular, descrito en las expresiones 4.11. Calculando la componen

te tangencial de la tensión rasante, se tiene;

$$\tau_{\theta} = \tau \frac{v_{\theta}}{v} \quad 5.5$$

despejando  $\tau$  de 5.5 y sustituyendo en 5.4 se llega a:

$$\tau_{\theta} = \frac{\rho v_{\theta} v}{76.39 \eta^{2/7}} \quad 5.6$$

recordando que  $v^2 = (v_{\theta}^2 + v_z^2 + v_r^2)$ , y sustituyendo los valores de  $v_{\theta}$  y  $v_z$  según las expresiones 4.11, se tiene:

$$\tau_{\theta} = \frac{\rho}{76.39 \eta^{2/7}} \cdot \frac{K_V}{r} \sqrt{\frac{K_V^2}{r^2} + \frac{Q_{\theta}^2}{A_C^2}} \quad 5.7$$



derivando  $\Omega_e$  con respecto a  $z$ , a partir de 4.14, se llega a:

$$\frac{d\Omega_e}{dz} = \frac{\rho Q_{\theta}^2}{D} \frac{dG_o}{dz} \quad 5.8$$

sustituyendo en 5.2 el valor de  $\tau_{\theta}$  proporcionado por 5.7, igualando 5.8 con 5.2, haciendo  $Z = z/D$  y teniendo en cuenta 4.14, se puede plantear la siguiente expresión adimensional.

$$\frac{dG_o}{dZ} = -C G_o^2 \left\{ 1 + \left[ \frac{2}{\pi (1 - \sigma_n^2) G_o} \right]^2 \right\}^{1/2} \quad 5.9$$

donde  $C = 2\pi/76.39 \eta^{2/7}$ , El radio adimensionado del núcleo  $\sigma_n$  es función de  $G_o$ , como se ha demostrado experimentalmente por

Senoo /19/ y experimental y teóricamente en la sección 4.2.

Para poder expresar  $\sigma_n$  en función de  $G_o$ , en la sección 4.2.2 se propuso la función:

$$\sigma_n = 0.426 G_o^{0.408} \quad 5.10$$

Para integrar la ecuación 5.9 se admite provisionalmente que C es constante, hipótesis que luego se confrontará con los resultados experimentales. Al realizar la integración en Z, entre  $Z_1$  y  $Z_2$ , se tiene:

$$F(G_{o_2}) - F(G_{o_1}) = C(Z_1 - Z_2)$$

siendo

$$F(G_o) = \int dG_o / G_o^2 \left\{ 1 + \left[ \frac{2}{\pi(1-\sigma_n^2)G_o} \right]^2 \right\}^{1/2} \quad 5.11$$

La función  $F(G_o)$  se presenta gráficamente en la figura 5.6, la cual es algo más compleja que la función homóloga empleada en 5.2, pues en  $F(G_o)$  se ha introducido la hipótesis sobre la distribución de velocidades en la capa límite, con lo cual se obtienen resultados consistentes con la hipótesis de C constante, lo cual no ocurre si se procede como en 5.2. Como en la ecuación integrada aparecen únicamente las diferencias  $F(G_{o_2}) - F(G_{o_1})$ , el origen de las coordenadas en  $F(G_o)$  puede fijarse arbitrariamente. Para la determinación de C, se utilizaron las curvas  $F(G_{oe}, L/D)$  obtenidas experimentalmente. Para

ello se empleó el siguiente procedimiento: en la figura 5.5 se presenta el esquema de dos curvas experimentales, correspondientes a  $(L/D)_1$  y  $(L/D)_2$ . Tomando un valor cualquiera del parámetro de frecuencia  $F_C$  se determinaron dos puntos A y B, uno en cada curva. El parámetro de giro de entrada al tubo con  $(L/D)_1$  que origina un parámetro de frecuencia  $F_C$  en la salida es  $G_{oeA}$ , y en el tubo con  $(L/D)_2$  es  $G_{oeB}$ . Como  $F_C$  es el mismo para los dos tubos, el parámetro de giro en la salida de ambos también deberá ser el mismo ( $G_{oeC}$ ). Por tanto, aplicando las ecuaciones 5.11 se puede formar el siguiente sistema de ecuaciones:

$$F(G_{oeA}) - F(G_{oeC}) = C Z_1 ; \quad Z_1 = (L/D)_1 \quad 5.12$$

$$F(G_{oeB}) - F(G_{oeC}) = C Z_2 ; \quad Z_2 = (L/D)_2$$

restando miembro a miembro, se tiene:

$$C = \frac{F(G_{oeB}) - F(G_{oeA})}{Z_2 - Z_1} \quad 5.13$$

La ecuación 5.13 se aplicó a distintos parámetros de frecuencia dados por la ecuación  $F_C = 1 + 0.1n$  (donde  $n$  es entero y  $1 < n < 17$ ), tomando en cada caso todas las combinaciones posibles de parejas de curvas interceptadas por la recta  $F = F_C$  y promediando para cada  $F_C$ , se obtiene  $\bar{C}$ . En la figura 5.7 se muestra que los valores medios de  $\bar{C}$  son sensiblemente constantes, justificando con ello la hipótesis inicial de  $C = cte.$

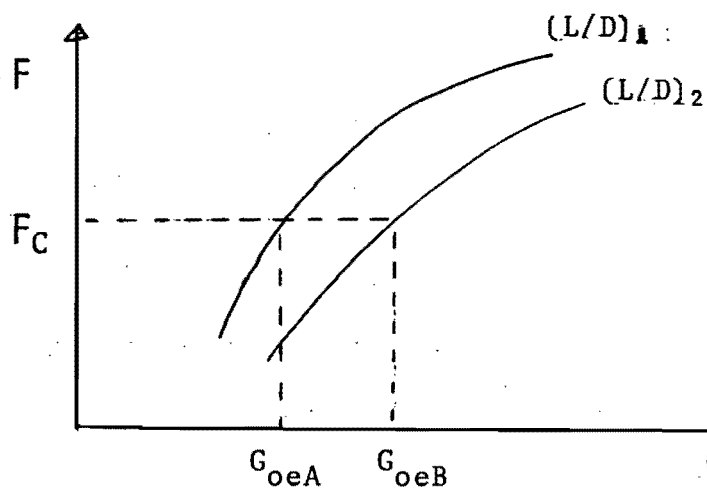


Fig. 5.5. Esquema auxiliar para calcular el decaimiento del parámetro de giro

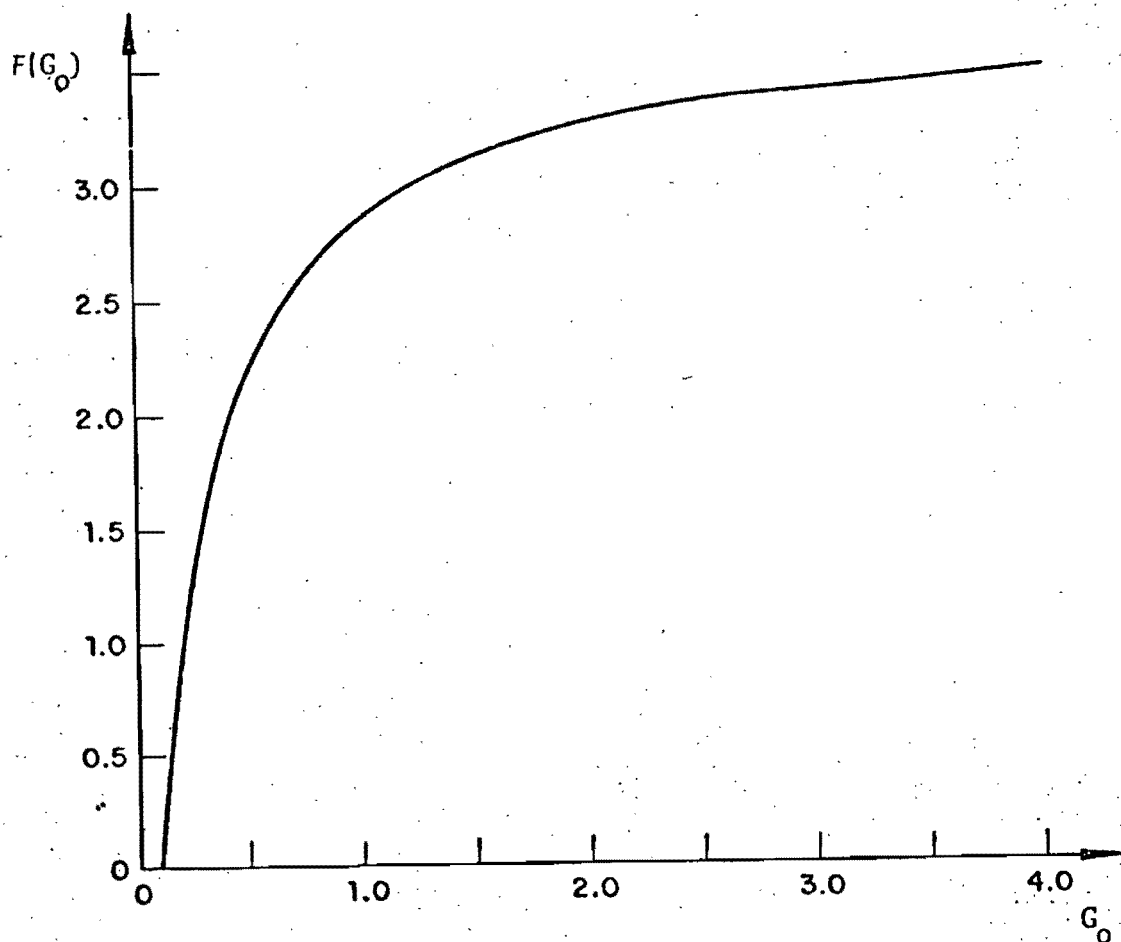


Fig. 5.6. Curva  $G_0 - F(G_0)$ .

El valor medio de  $\bar{C}$  es  $C_0 = 0,0273$ . Con este valor de  $C_0$  se calcula el valor de  $\eta_0$  que le corresponde según la definición de  $C$ . Dicho valor es  $\eta_0 = 47,47$ , que justifica la utilización de la ley propuesta por 5.3, aplicable al intervalo de fricción mixta laminar-turbulento ( $5 < \eta < 70$ ).

#### 5.4 RELACION ENTRE EL PARAMETRO DE FRECUENCIA Y EL PARAMETRO DE GIRO A LA SALIDA DEL TUBO

Como el propósito del modelo teórico es, dados  $G_{oe}$  y  $L/D$ , calcular el parámetro de giro a la salida ( $G_{os}$ ), se procederá a hacerlo con el valor de  $C_0$  encontrado. La secuencia es la siguiente: Dado  $G_{oeA}$ , se calcula  $F(G_{oeA})$  empleando la figura 5.6, luego con  $(L/D)_1$  y  $C_0=0,0273$  se calcula  $F(G_{oAC}) = F(G_{oeA}) - C Z_1$ ; con este valor y empleando nuevamente la curva  $F(G_0)$ , se determina  $G_{osC}$ . Por otra parte,  $G_{oeA}$  y  $(L/D)_1$  definen el parámetro de frecuencia  $F_C$ . Por lo tanto se ha logrado encontrar un parámetro de giro local (en la salida) asociado a un parámetro de frecuencia  $F_C$  dado. Procediendo sistemáticamente para cada uno de los diecisiete  $F_C$  definidos anteriormente, pudo construirse la tabla 5.1 en la cual aparece el valor de  $G_{os}$  obtenido para cada  $F$ , y los resultados correspondientes de cada una de las curvas encontradas experimentalmente. Nótese que para un valor de  $F$ , deberá encontrarse un mismo  $G_{os}$ , independientemente de la curva elegida, y esto es precisa

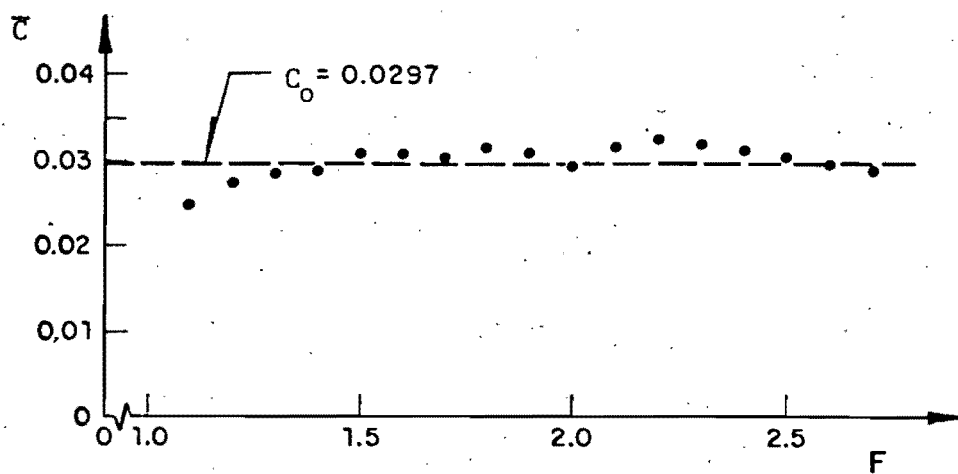


Fig. 5.7 Valores de  $\bar{c}$  en función del parámetro de frecuencia.

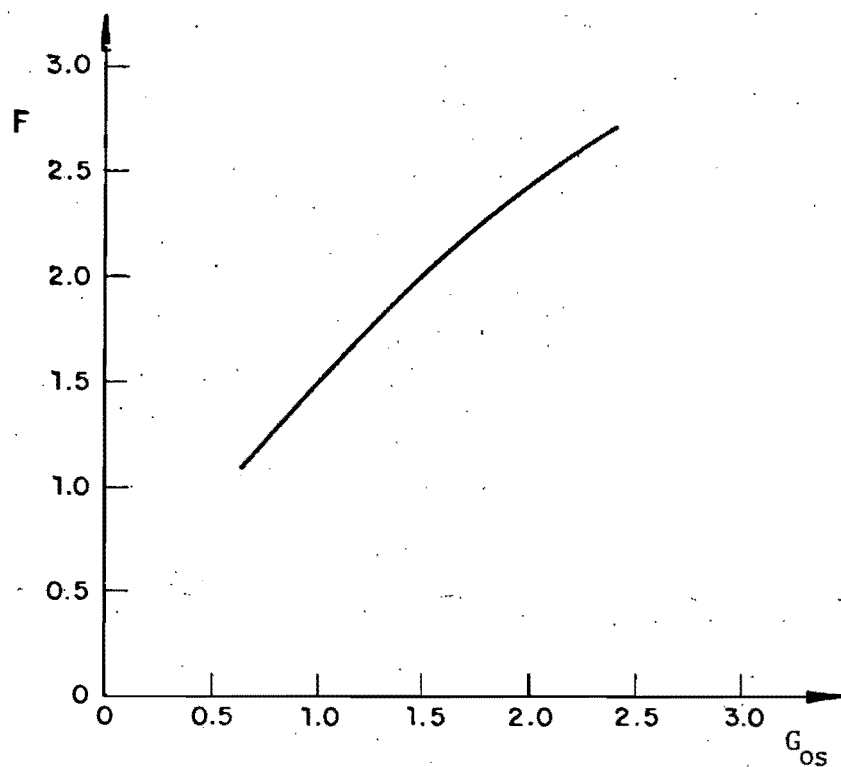


Fig. 5.8 Parámetro de frecuencia en función del parámetro de giro a la salida del tubo.

F <sub>C</sub>	$\bar{c}$	Parámetros de giro $G_{os}$ calculados						Promedio
		L/D=1.82	L/D = 3.45	L/D=6.19	L/D=12.49	L/D = 16.69	L/D = 24.94	
		1.1	0.0249	0.650	0.651	0.637	0.638	
1.2	0.0275	0.744	0.735	0.733	0.733	0.698	0.762	0.734
1.3	0.0284	0.829	0.810	0.835	0.819	0.794	0.837	0.820
1.4	0.0289	0.931	0.917	0.928	0.930	0.894	0.902	0.917
1.5	0.0308	1.002	0.992	1.001	0.991	0.951	-	0.988
1.6	0.0309	1.113	1.103	1.116	1.096	1.007	-	1.087
1.7	0.0303	1.201	1.218	1.223	1.206	1.116	-	1.193
1.8	0.0317	1.306	1.334	1.311	1.261	-	-	1.303
1.9	0.0310	1.405	1.442	1.422	1.355	-	-	1.406
2.0	0.0294	1.513	1.570	1.544	1.498	-	-	1.531
2.1	0.0317	1.583	1.687	1.612	-	-	-	1.627
2.2	0.0326	1.705	1.809	1.706	-	-	-	1.740
2.3	0.0319	1.823	1.939	1.803	-	-	-	1.855
2.4	0.0312	1.917	2.095	1.904	-	-	-	1.972
2.5	0.0305	2.020	2.226	2.012	-	-	-	2.086
2.6	0.0297	2.170	2.366	2.180	-	-	-	2.239
2.7	0.0289	2.317	2.423	2.349	-	-	-	2.363

TABLA 5.1 Valores de  $G_{os}$  calculados a partir de los datos experimentales

mente lo que ocurre con un error máximo del 7.4%. En consecuencia, este resultado valida el modelo empleado dentro de los intervalos de  $G_{oe}$  y  $L/D$  en los que se realizaron las pruebas.

En resumen, se ha determinado una relación funcional entre el parámetro de frecuencia  $F$  y el de giro  $G_{os}$  que es independiente de  $Re$  y  $L/D$ . Esta relación expresada gráficamente para los valores medios de  $G_{os}$ , se muestra en la figura 5.8. Nótese que esta gráfica y la mostrada en 5.4 difieren en el eje de las abscisas, pues mientras en una (fig 5.8) se presenta el parámetro de giro a la salida del tubo ( $G_{os}$ ), en la otra se presenta el parámetro de giro a la entrada.

## CAPITULO 6 CONCLUSIONES

En la etapa de diseño de una planta hidroeléctrica, es necesario preveer los posibles fenómenos de resonancia causados por el vórtice pulsante que se presenta en la tubería de descarga de las turbinas tipo Francis. Para esto se requiere conocer el mecanismo por el cual el vórtice excita al resonador.

En este trabajo se expuso brevemente la teoría de la resonancia, la cual se desarrolla con base en el método de las matrices de transferencia. Esta teoría permite conocer con cuales frecuencias y en cuales puntos del sistema hidráulico se pueden presentar amplitudes máximas en las oscilaciones de presión. En consecuencia, resta saber preveer el comportamiento del excitador que en las plantas hidroeléctricas es el vórtice en la descarga de las turbinas Francis. Por la complejidad del flujo que produce este vórtice (helicoidal y turbulento), el camino a seguir para su comprensión debe hacerse por etapas. El estudio de las características cinemáticas y oscilatorias del flujo helicoidal (en tubos cilíndricos), que se presentaron en los capítulos cuatro y cinco, respectivamente, es la primera de ellas.

Como se ha visto, la técnica del parámetro de giro es un valioso auxiliar en el estudio experimental, ya que no se requiere de un rodete para generar el vórtice, bastando conocer la geometría

de un sistema de álabes fijos, para poder extrapolar a un prototipo los resultados experimentales.

Para determinar el radio del núcleo ( $r_n$ ), se propusieron dos modelos: el del vórtice circular (V.C) y el vórtice-Q (V.Q). El modelo V.C considera que desde el centro del tubo y hasta una distancia  $r_n$ , el flujo se comporta como un vórtice confinado (sólido rígido) y no se presentan velocidades axiales, y que de  $r_n$  a las paredes, el comportamiento es el de un vórtice libre; este modelo ya había sido propuesto por Shogenji desde 1933 /25/. El modelo V.Q. propone una distribución exponencial para la distribución de velocidades tangenciales y considera que se presentan velocidades axiales en todo el tubo; la desventaja del segundo modelo es que requiere ser calibrado con datos experimentales. El ajuste del modelo C.V. es bueno en los puntos cercanos a la pared y malo en los entornos de  $\sigma_n$ . El modelo V.Q. proporciona buen ajuste para la distribución de velocidades tangenciales, no siendo así con la distribución de velocidades axiales. De cualquier manera, ambos modelos proporcionan valores de  $\sigma_n$  similares. Los resultados experimentales mostraron que  $\sigma_n$  es función del parámetro de giro ( $G_o$ ), e independiente de la relación L/D. A partir del principio de Hamilton trabajando con un fluido ideal, se justifica esa relación. Las curvas  $\sigma_n - G_o$ , obtenidas experimental y teóricamente son cualitativamente semejantes. La diferencia de resultados cuantitativos se debe a que se empleó un modelo con fluido ideal a un fenómeno real.

En el estudio experimental de las características oscilatorias del flujo helicoidal, se mostró la relación funcional  $fD/Q = \bar{F}(G_o, L/D)$ , para números de Reynolds altos. Esta relación proporciona resultados cuantitativamente similares empleando aire o agua como fluidos de trabajo.

Según lo observado en las fotografías del vórtice, el descentramiento de este, y por lo tanto el fenómeno oscilatorio, es un fenómeno local que se presenta a la salida del tubo. Para conocer el parámetro de giro a salida (zona de descentramiento), se requiere conocer la pérdida del momento de la cantidad de movimiento a lo largo del tubo, la cual se debe a los efectos de la fricción. En este trabajo se propuso un modelo que permite calcular dicha pérdida y poder así, relacionar el parámetro de giro a la salida con la frecuencia de la oscilación. El modelo se calibró con los resultados obtenidos, considerando inicialmente un valor de  $\eta$  constante, consideración que fue verificada posteriormente, también se necesitó conocer  $\sigma_n$ , lo cual hizo necesario usar los resultados obtenidos en el capítulo cuatro.

Como ya se comentó, la excitación pulsante está causada por la pérdida de simetría axial del fluido que acontece a la entrada al tanque de desfogue. Dicha pérdida de simetría axial puede deberse al gradiente de presiones que el flujo produce a la salida del tubo. Pruebas preliminares realizadas en el Instituto de Ingeniería corroboran esta hipótesis. Por lo tanto, al proseguir este estudio en la orientación indicada, no solo permitirá cono-

cer mejor el comportamiento del vórtice y por lo tanto preverlo, sino que podrá llegarse a formas técnicamente factibles de controlarlo.

El siguiente paso será estudiar el comportamiento del flujo helicoidal dentro de tubos cónicos y de ahí pasar al modelo a escala del sistema tubería de presión-turbina-tubería de desfogue. Los aspectos teóricos y la determinación de escalas de este modelo ya fueron presentados por Aguilar /24/.

## AGRADECIMIENTOS

Los resultados experimentales y teóricos presentados en los capítulos 4 y 5, fueron obtenidos por el grupo de hidromecánica del Instituto de Ingeniería que está a cargo del Dr. Rafael Guarga Ferro. Quiero manifestar mi agradecimiento a las autoridades del Instituto de Ingeniería y a las de la Facultad de Ingeniería, el haberme permitido colaborar dentro del mencionado grupo de trabajo durante el período en el que se realizó este trabajo.

Agradezco también al Dr. Guarga sus valiosas enseñanzas y su esmerado apoyo en la dirección de esta trabajo, asimismo, mi reconocimiento a todo el grupo de hidromecánica, y de manera muy especial al ingeniero Jesús Gracia Sánchez y al ingeniero Alejandro Sánchez Huerta quién siempre me ha brindado su ayuda y su amistad.

## REFERENCIAS Y BIBLIOGRAFIA

- 1 Guarga,R. y Torres JJ. "Reducción de las oscilaciones de presión en la P.H. 'La Angostura' mediante inyección de aire". Proyecto 1118 del Instituto de Ingeniería de la U.N.A.M. 1982.
- 2 Wylie,B & Streeter ,V. " Fluid Transients" . Mc. Graw Hill Co. 1978.
- 3 Brown,F.T.,Margolis,D.L & Shah,R. "Small-amplitude frequency behavior of fluid lines with turbulent flow", ASME transactions, Dec. 1969, pp 578-693.
- 4 Chaudry,H. "Applied Hydraulic Transients", Van Nostrand Reinhold Co. New York, 1979.
- 5 Fanelli, M "Risposta dinamica di una condotta in pressione con parete elastica smorzante". L. Energia Elettica, No 1, 1973.
- 6 Guarga,R.,Hiriart,G & Torres,J. " Oscillatory problems at Mexico's Angostura Plant" Water Power and Dam Construcción October 1983, pp 33-36.
- 7 Guarga,R,Hiriart,G "Informe de diagnóstico sobre las P.H. de Malpasó y Angostura",Informe del Instituto de Ingeniería. Proyecto 9103. Mayo de 1983.
- 8 Guarga,R."Resonancia en sistemas de conductos a presión" Tesis doctoral.Publicación del Instituto de Ingeniería.

- 9 Fashbaug, R & Streeter, V. "Resonance in liquid rocket engine systems", ASME: J. of Basic Engineering, Dec 1965 pp 1011-1017.
- 10 Zielke, W., Wylie, B. & Keller, R. "Forced and self excited oscillation in propellant lines", ASME. J. of Basic Engineering Dec. 1969. pp 671-677.
- 11 Guarga, R. "Resonance and receptance in uniform pipes". Instituto de Ingeniería B. E-55. Febrero de 1985. pp 1-45.
- 12 Guarga, R. " Seminario de oscilaciones y estabilidad de sistemas hidráulicos a presión" Impartido en el Instituto de Ingeniería, 1984. Notas sin publicar.
- 13 Zielke, W. & Hack, H. "Resonance frequencies and associated mode shapes of pressurized systems" Int. Conf. on Pressure Surges. Set, 1982, Canterbury, England. pp G1-1-13.
- 14 Guarga, R. e Hiriart, G. "Informe diagnóstico sobre las P.H. de "Malpaso" y "La Angostura"" Proyecto 9103 del Instituto de Ingeniería. Mayo de 1980
- 15 Guarga, R. "Oscilaciones en plantas hidroeléctricas. Mediciones en "La Angostura" Proyecto 9103 del Instituto de Ingeniería. Mayo de 1980.

- 16 Cassidy, J & Falvey, H. "Observations of unsteady flow arising after vortex breakdown" Journal of Fluid Mechanics, Vol 41 Part 4, 1970. pp727-736.
- 17 Nishi, . "Study of Swirl flow and surge in elbow type draft tube" IAHR. Simposio de Tokio, Vol 1, 1980.
- 18 Guarga, R., Torres, J. "Desarrollo de mejores métodos de control del vórtice en la descarga de las turbinas Francis. Publicación 2107 del Instituto de Ingeniería. 1983
- 19 Senoo, Y. & Nagata .M "Swirl flow in long pipes with different roughness" Bulletin of the JSME 5 Vol 15, N°90. 1972, 1514-1521.
- 20 Guarga ,R. Gracia, J., Sánchez, A et al. " L.D.V. and pressure measurements in confined turbulent swirling flow" Proceedings of the second meeting of the IAHR Work Group. "On the behavior of the hydraulic machinery under steady oscillatory conditions" Sept 18-21. 1985 México.
- 22 Guarga, R., Gracia, J., Sánchez, A. y Cafaggi, A. "Oscillatory characteristics of swirling, confined, turbulent and non cavitating flows" Proceedings of the second meeting of the IAHR Work Group. 'On the behavior of the hydraulic machinery under steady oscillatory conditions' Sept 18-21. 1985 .México.

- 21 Milne and Thompson "Theoretical Aerodynamics", Fourth Edition, Chap 4. Dover Publications, Inc. New York 1973 pp. 70-73.
- 23 Schlichting, H. "Boundary Layer Theory" Mc Graw Hill Book Co. Fourth Edition. Chap 20, 1960, p.p. 507.
- 24 Aguilar, L. "Planteamiento y construcción del modelo hidro-elástico de la unidad número 3 de la planta hidroeléctrica 'La Angostura'" Tesis de maestría. Fac. de Ingeniería. UNAM. Dic. de 1983
- 25 Shogenji, K. & Shimoyama, Y. "On the flow of water through the draft tube of a water turbine". Journal of the Faculty of Engineering, Kyushu Imperial University, September, 1933.
- 26 Sánchez, A. "Resonancia hidráulica en tuberías, excitada por un flujo helicoidal" Tesis de licenciatura. Fac. de Ing. U.N.A.M. 1984.